

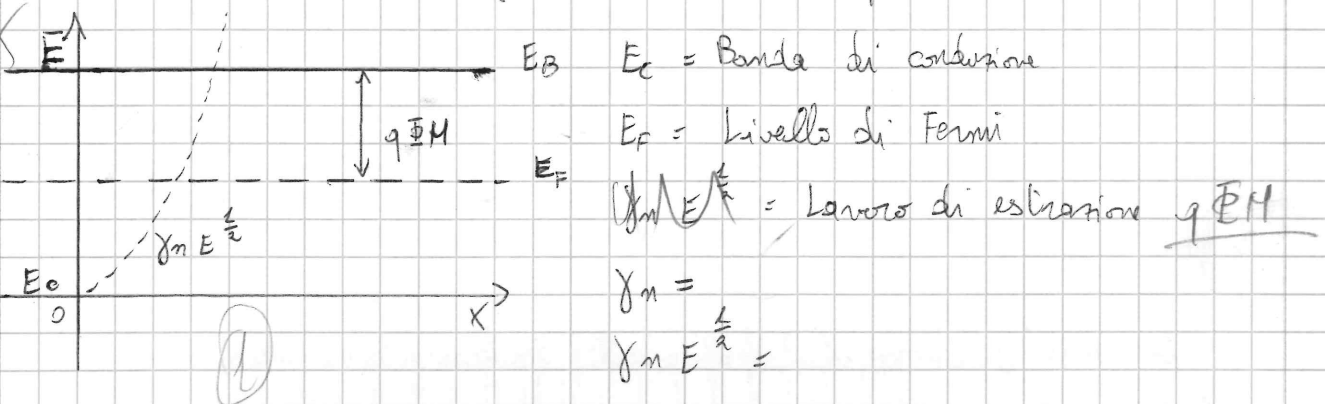
Dispositivi elettronici

Proprietà elettriche dei Materiali

Un solido è rappresentabile mediante un diagramma a bande; esso è un diagramma in cui riportiamo sulle ascisse una posizione (spaziale, nel reticolo diretto, o il valore del vettore d'onda, nel caso di reticolo reciproco); noi useremo una posizione spaziale x per ora; nelle ordinate, si inserisce un'energia E .

~~3 due solidi che ci interessano studiare in dispositivistica sono i metalli ed i semiconduttori.~~

Metalli: si tratta di solidi molto conduttori; rappresentiamo un metallo con il suo diagramma a bande tipico:



Saranno alcune osservazioni: E_c si può considerare in 0, poiché l'energia dell'elettrone è nel metallo è tutta energia cinetica; il livello di Fermi si trova dunque nella banda di convezione circa a 4,5 eV. Allo zero assoluto, tutti gli elettroni saranno sotto di esso (come si può vedere dalla distribuzione di Fermi-Dicke), si definisce una "working function", ovvero una funzione esperimentale il lavoro di estrazione: essa è la minima energia in grado di estrarre, ad una temperatura di 0 K, un elettrone dal metallo.

Gli elettroni più facili da estrarre a 0 K saranno quelli in prossimità di E_F .

Per esprimere gli stati occupati in un metallo servono due ingredienti: la funzione di densità degli stati energetici $N(E)$, e la funzione di occupazione $f(E; T)$ (distribuzione di Fermi-Dirac).

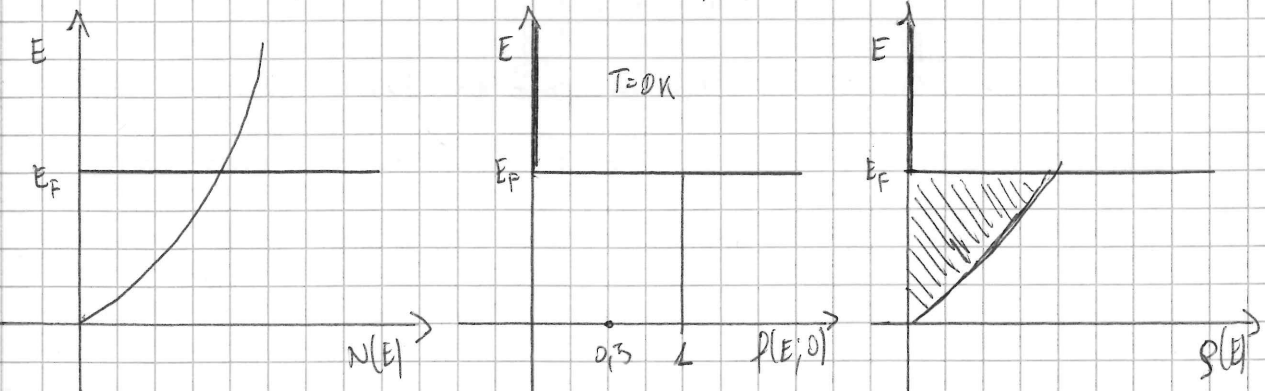
$$N(E) = g_m E^{\frac{1}{2}}$$

$$f(E; T) = \frac{1}{1 + e^{\frac{E - E_F}{kT}}}$$

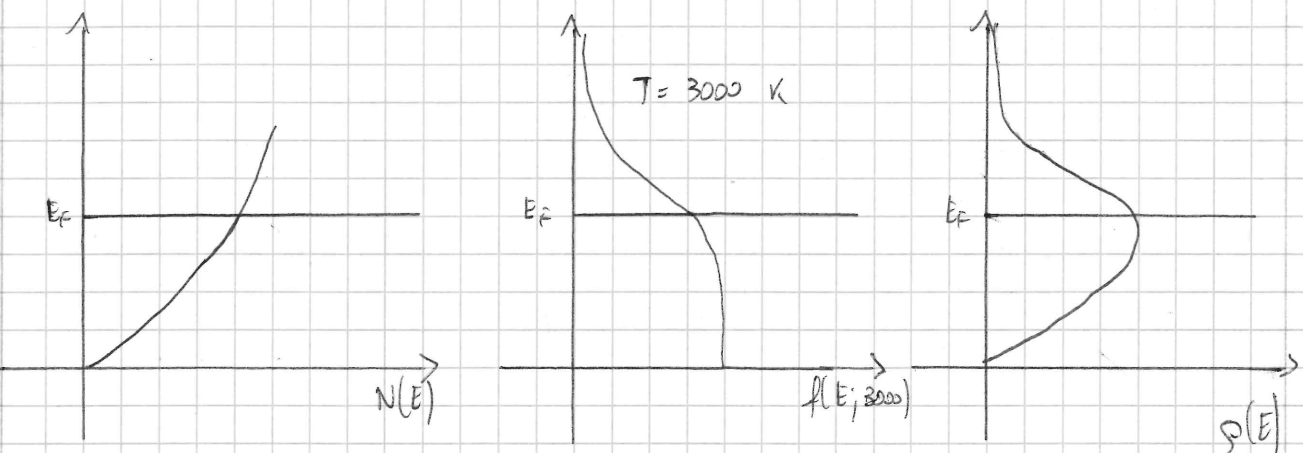
La funzione di densità degli stati occupati, pur, sarà data dal prodotto delle altre due: funzione di densità degli stati e funzione di occupazione. Ciò è spiegabile come: dato il numero di sedie vuote ad un livello (densità degli stati), e il numero di insabbiati (funzione di occupazione), il prodotto ci fornisce il numero di sedie occupate (intuitivamente).

$$g_m(E) = N(E) f(E; T)$$

In un metallo, occorrerà (preferibilmente) qualche di simili:



Questo allo zero assoluto, vediamo che, ad una temperatura maggiore, lo $N(E)$ non varia, ma $f(E; T)$ sì, e dunque $g_m(E)$:



Per una temperatura molto elevata, come sui 3000 K, la funzione di occupazione varia notevolmente, e così lo $g_m(E)$.

Per $T \approx 300$ K, non si ha un'ormai variazione della $f(E; T)$ dalla situazione di 0 K. Nella maggior parte delle nostre considerazioni, ci troveremo proprio in questo stato termico.

L'integrale di $g_m(E)$ ci darà il numero di stati occupati, fino al determinato livello energetico che intendiamo studiare. Il numero di stati in tutto occupati, tenendo conto che $E_C=0$, sarà:

$$n = \int_0^{E_C} g_m(E) dE = \int_0^{E_C} N(E) f(E; T) dE$$

In un metallo, abbiamo circa 10^{22} elettroni per centimetro cubo.

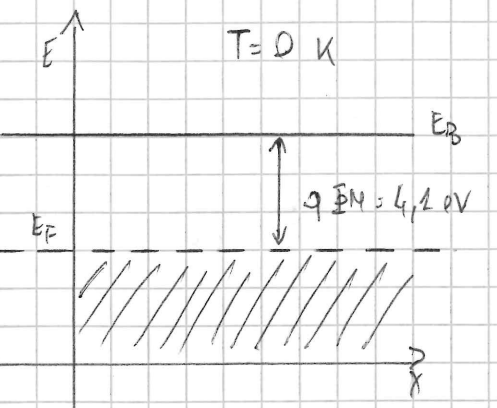
Il già citato lavoro di estrazione si esprime in elettronvolt (eV):

1 eV è l'energia che un elettrone ha se sottoposto ad una differenza di potenziale di 1V. È una misura molto comoda, e per questo viene molto utilizzata.

L'alluminio Al ha lavoro di estrazione $q\bar{E}M = 4,1 \text{ eV}$ l'oro

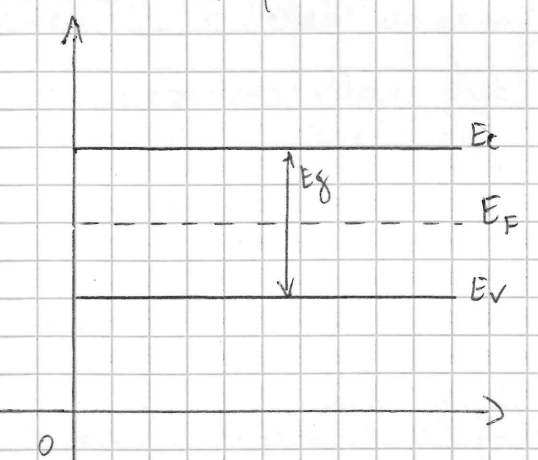
Au ha lavoro di estrazione $q\bar{E}M = 5 \text{ eV}$.

Cosa si intende esattamente per lavoro di estrazione: vediamo esplicitamente:



Il lavoro di estrazione è il lavoro da attrarre all'elettrone in modo da fargli fare un salto di 4,1 eV verso Ec da Ef.

Semiconduttori: il diagramma a bande di un semiconduttore è ben più articolato di quello di un metallo; vediamo un modello semplificato:



E_c = banda di conduzione

E_F = livello di Fermi

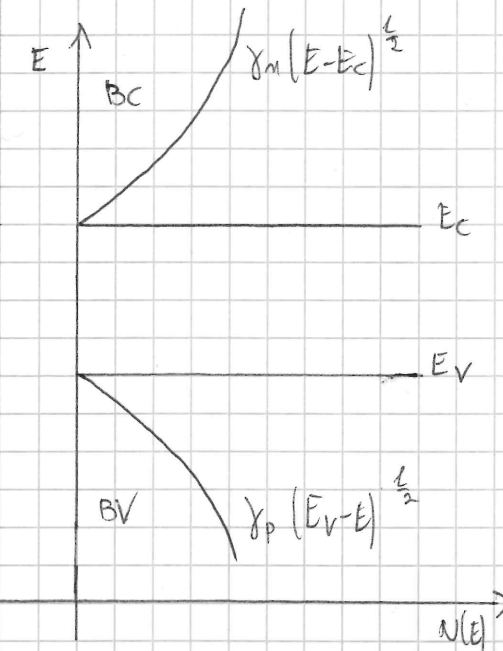
E_v = banda di valenza

E_g = Energy gap (nel caso del silicio Si, $E_g = 1,12 \text{ eV}$)

Se il livello di Fermi si trova a metà tra il livello E_v e quello E_c , poiché siamo in un semiconduttore intrinseco, puro, $E_F = \frac{E_c - E_v}{2}$. (nella sparsità intrinseca, si aggiunge un pedice "i").

Prestiamoci meglio su ciò! E_F non può essere in banda di valenza, altrimenti avremmo in essa elettroni "liberi di andare"; e se non può essere in banda di conduzione, altrimenti avremmo già elettroni in tale banda, cosa non possibile in un semiconduttore intrinseco allo zero assoluto. A tale condizione, la banda di conduzione è vuota, e quella di valenza piena di elettroni.

Parliamo delle densità di stati disponibili:



$$N_{BC}(E) = g_m (E - E_c)^{\frac{1}{2}}$$

$$N_{BV}(E) = g_p (E_v - E)^{\frac{1}{2}}$$

n = numero elettroni in banda di conduzione
 p = numero lacune in banda di valenza

$$g(E) = N(E) \cdot f(E; T)$$

Avevamo però una $g_m(E)$ (densità degli elettroni in banda di conduzione) ed una $g_p(E)$ (densità delle lacune in banda di valenza).

Qui, però, le due coincidono: in un semiconduttore intrinseco, gli elettroni in banda di conduzione sono uguali al numero di lacune in banda di valenza. I numeri di elettroni ma (in semiconduttore intrinseco), in banda di conduzione, e di lacune in banda di valenza p_i , saremo:

$$n_i = \int_{E_c}^{+\infty} g_m (E - E_c)^{\frac{1}{2}} f(E) dE$$

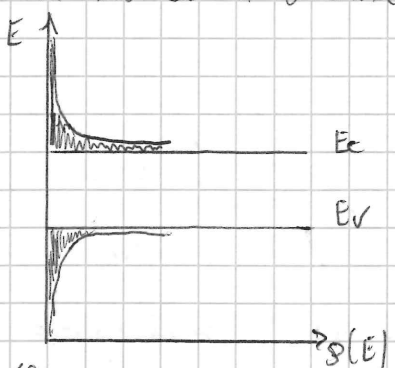
$$p_i = \int_{-\infty}^{E_v} g_p (E_v - E)^{\frac{1}{2}} f(E) dE.$$

Ma $n_i = p_i$.

Nel silicio, $n_i = p_i = 1,43 \cdot 10^{10}$ elettroni per centimetro cubo, a 300 K.

La conduzione, dunque, è un evento molto remoto.

Consideriamo ora due equazioni fondamentali, che useremo spesso:



Dato un semiconduttore intrinseco,

$$n = n_i = \int_{E_C}^{+\infty} N_{ex}(E) f(E) dE = N_{c,eff} e^{-\frac{E_C - E_F}{kT}}$$

$$p = p_i = \int_{-\infty}^{E_V} N_{av} f(E) dE = N_{v,eff} e^{\frac{E_V - E_F}{kT}}$$

Dove N_{eff} si riferisce al termine "efficace":

$$N_{eff} = \frac{2(m^* \pi k T)^{3/2}}{h}$$

Le due formule, fondamentali, si ricavano mediante approssimazione alla distribuzione di Maxwell-Boltzmann, utilizzando:

~~Maxwell~~

Vogliamo ora E_{F1} : sfruttiamo le proprietà dei semiconduttori;

$$- \frac{E_C - E_{F1}}{kT} = - \frac{E_{F1} - E_V}{kT}$$

$$n_i = p_i = N_c e^{-\frac{E_C - E_{F1}}{kT}} = N_v e^{-\frac{E_{F1} - E_V}{kT}}$$

Sfruttiamo la proprietà di neutralità del semiconduttore intrinseco;

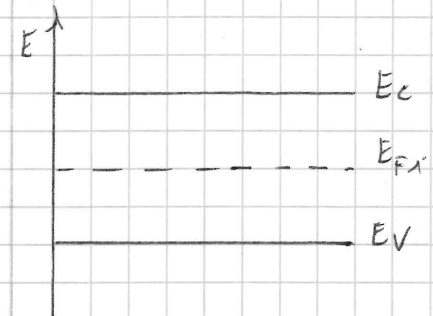
Risolviamo tale equazione rispetto E_{F1} :

$$\begin{aligned} - \frac{E_C - E_{F1}}{kT} &= \frac{E_{F1} - E_V}{kT} \quad ; \quad e^{\frac{2E_{F1}}{kT}} = e^{\frac{E_V + E_C}{kT}} \quad ; \\ \frac{N_v}{N_c} \cdot e^{\frac{2E_{F1}}{kT}} &= \frac{N_v}{N_c} \quad ; \quad e^{\frac{2E_{F1}}{kT}} = \frac{N_v}{N_c} \quad ; \\ E_{F1} &= \frac{E_C + E_V}{2} + \frac{kT}{2} \ln \frac{N_v}{N_c} \end{aligned}$$

Si noti che N_v ed N_c differiscono solo per la massa efficace di elettroni e lacune; possiamo dire dunque, in caso di semiconduttore intrinseco, il termine $\frac{kT}{2} \ln \frac{N_v}{N_c}$ corregga solo di pochi meV

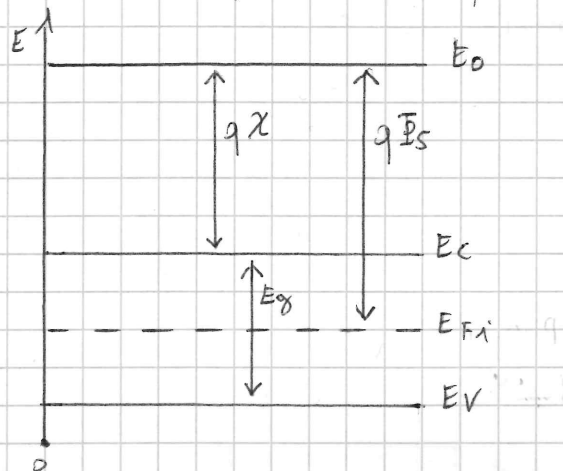
(al più una decina), il livello $\frac{E_C + E_V}{2} \approx E_{F1}$.

Rappresentiamo ciò in un diagramma a bande:



N.B.: non consideriamo variazioni nello spazio, x, perché consideriamo semiconduttori intrinseci ideali, senza imperfezioni.

Per noi, come vedremo in seguito, E_{F1} sarà sempre un valore di riferimento, anche in caso di semiconduttori drogati; rappresentiamo ora un diagramma in forma più completa:



$E_g = \text{Energy Gap}$ (1,12 eV nel Silicio)

$qX = \text{Affinità Elettronica}$ (4,05 eV in Si)

$qEs = \text{Lavoro di estrazione}$

Abbiamo definito il lavoro di estrazione qEs , ma si noti che, a differenza di $qEf1$, non ha un significato fisico: in E_{F1} non abbiamo elettroni, dunque il lavoro sarà ben diverso da quello.

Affinità elettronica ed energy gap sono valori che, in un semiconduttore, restano costanti, indipendentemente dai processi tecnologici che verranno attuati sul substrato semiconduttivo.

Calcolo di n_i

Vogliamo ora calcolare n_i , ovvero il numero di elettroni in banda di conduzione, in un semiconduttore intrinseco. Il metodo dei portatori di carica sarà dato da due elementi, che ora analizzeremo brevemente.

- G_{th} : generazione termica; la temperatura muore un certo numero di elettroni dalla banda di valenza alla banda di conduzione;
- R : ricombinazione: gli elettroni potranno tornare in banda di valenza, dopo un certo transitorio di tempo in banda di conduzione, e ricombinarsi con le lacune; è il fenomeno "antagonista" della G_{th} .

I termini n_i , più rappresentano il punto di equilibrio fra questi due fenomeni: G_{th} ed R .

Vogliamo cercare espressioni che ci permettano di studiare e calcolare n_i , o in più generalmente, oltre a ciò che già conosciamo; riprendiamo le nostre due equazioni principali:

$$n_i = N_c e^{\frac{-E_c - E_{F1}}{kT}} \quad | \quad p_i = N_v e^{\frac{-E_{F1} - E_v}{kT}}$$

Hanno stati soliti a usare come espressione (o condizione di equilibrio), la neutralità; studiamo qualcosa di diverso, e moltiplichiamo

$$\begin{aligned} n_i \cdot p_i &= \\ n_i \cdot p_i &= N_c N_v e^{\frac{-E_c - E_{F1}}{kT}} \cdot e^{\frac{-E_{F1} - E_v}{kT}} = N_c N_v e^{\frac{E_v - E_c}{kT}} \\ n_i^2 &= N_c N_v e^{-\frac{E_g}{kT}} \end{aligned}$$

Vediamo alcune cose: sappiamo che N_c ed $N_v \propto T^{\frac{3}{2}}$; di conseguenza, la concentrazione dei portatori (in numero) varia più che esponenzialmente: oltre al contributo dell'esponentiale, c'è quello di N_c ed N_v oppure a tasto.

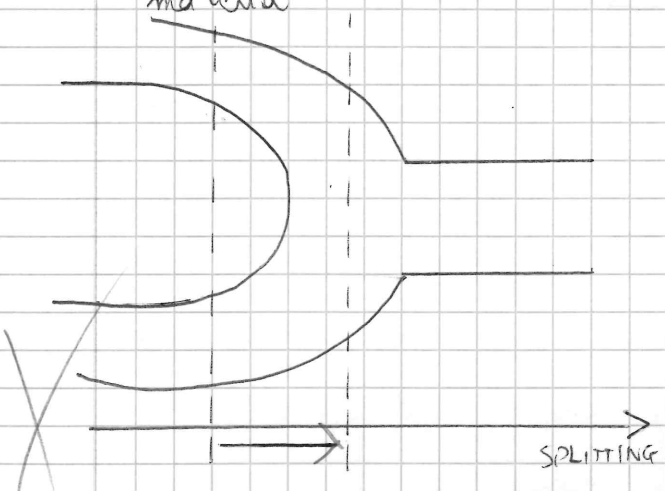
E_g è una funzione della temperatura: aumentando T , E_g tende

a diminuire.

Non esistono equazioni deterministiche in grado di esprimere

E_g in funzione di T , se non mediante processi statistici (di fitting); E_g risulta molto di T , ma noi, come convenzione, considereremo sempre di trovarci a 300 K

La variazione di E_g dipendente da T è causata dal fatto che la temperatura aumenta il peso reticolare medio della materia.



Aumentando il peso reticolare medio, si tende ad avere una riduzione del gap energetico: la retta rappresentante il peso reticolare medio, con l'aumentare di T , tende a spostarsi verso destra.

Nel silicio Si, il peso reticolare medio è di $4,5 \text{ \AA}$ (amazing)

Caratterizzazione dei semiconduttori dargati

Diciamo " N_d " il numero, o, meglio, la concentrazione di donorante inserito nel semiconduttore (atomi/cm³).

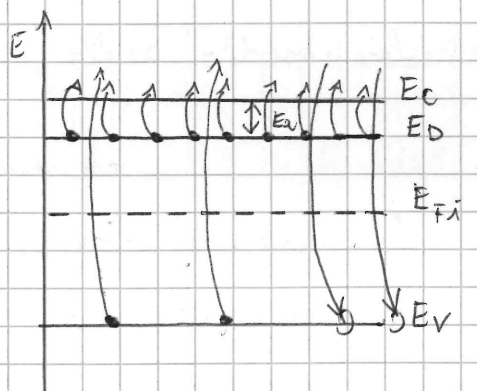
Nel silicio, i donoranti tipo n (donatore) sono l'arsenico As, ed il fosforo P.

Dargato significa aggiungere "stati artificiali" nell'energy gap, introducendo "livelli donatori E_D " vicino ad E_c . Comunemente, il dargaggio va da 10^{14} a 10^{19} atomi/cm³ in tridotti. I livelli donatori E_D introdotti, in un primo tempo, ospiteranno gli

elettroni che poi useremo per modificare le proprietà ottiche della materia.

Fosforo ed Arsenico sono ottimi perché la distanza degli Es da essi introdotti da Ec è di 40 meV per As, e pochi meV in più per P.

Consideriamo Ea la distanza tra Ec ed Es



Il diagramma a bande descriverà circa la situazione; ne disegneremo uno migliore ma certi dettagli non hanno bisogno (o a vediamo)

Nel semiconduttore drogato, le fenomenologie che proveremo la credibilità saranno 3:

- La Gth (generazione termica)
- La R (ricombinazione)
- La ionizzazione: ad una temperatura $T=0$, possiamo considerare gli Es come "gusci" contenenti elettroni; all'aumentare di T si apriranno sempre più gusci, che forniranno elettroni da Es in banda di conduzione; in questo modo, gli Es si ionizzeranno particolarmente perché perderanno ciascuno un elettrone.

Il solo per gli elettroni in Es verso Ec sarà di pochi meV (a differenza di 1,12 eV da Ev a Ec)

Facciamo alcune osservazioni: la ionizzazione è un fenomeno che si aggiunge a Gth ed R, ma non ha un suo singolo mezzo

antagonista: esistono motivazioni statistiche a ciò, ma anche spaziali; la temperatura a 300 K è una condizione in cui un buon drogaggio non può permettere che gli elettroni tornino nei loro "gusci"; la ragione spaziale sta nella natura stessa dei "gusci" ossia degli Es: gli Es, quando svuotati, non creano lacuni; il processo di ionizzazione realizza stati che non dispongono delle stesse proprietà di trasporto della banda di valenza.

Abbiamo finora parlato di un drogaggio tipo n, e di droganti N_A; introduciamo il drogaggio tipo p: la concentrazione di droganti sarà N_A, per "accettori", e si introducono livelli EA, in prossimità della banda di valenza Ev. Avverrà anche

qui un processo di ionizzazione, in questo senso: gli atomi per il drogaggio tipo p sono in grado di attrarre a sé elettroni della banda di valenza, perché il gap tra EA ed Ev sarà minimo. Gli elettroni che andranno in EA, ionizzandolo negativamente, e dando vita a numeri N_A, libereranno lacuni in banda di valenza, dando vita a fenomeni di trasporto.

A parte ciò che è stato oppena descritto, le fenomenologie sono analoghe al drogaggio tipo n.

Facciamo alcune note da ciò che abbiamo finora appreso:

- 2) Non tutti gli atomi sono in grado di sfuggire, ma solo certi, per certo caratteristico (nel caso del Si, per tipo n essere pentavalenti, per tipo p trivalenti, e posizionare rispettivamente Es ed EA vicini a Ec ed Ev).

2) l'effetto del droggaggio è una notevole alterazione della polarizzazione delle bande.

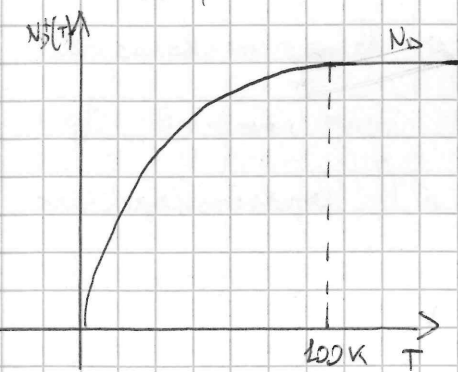
3) l'effetto del droggaggio non è puramente additivo: non siamo sicuri che, introducendo 10^{10} atomi di As gli elettroni raddoppiano (poiché al silicio già ne formano $1,43 \cdot 10^{10}$ per cm^3); siamo solo sicuri di un miglioramento non quantificabile, a causa di fenomeni intrinsei di ricombinazione.

Calcolo di n e p in un semiconduttore drogato

Per poter determinare parametri come la densità dei portatori (la concentrazione) attivi, n e p ,abbiamo innanzitutto ancora una condizione al contorno idonea per applicare le giuste equazioni.

Supponiamo di drogare tipo n, di avere N_D drenanti, e di questi, N_D^+ ionizzati, ossia "attivi", che hanno liberato gli elettroni.

N_D^+ sarà una funzione della temperatura T , e verrà però, a nostro vantaggio, un andamento di questo tipo:



Per una temperatura $T \approx 80 \div 120 \text{ K}$,
 $N_D^+(T) \approx N_D$: da questa temperatura, tutte le impurità drenanti saranno ionizzate e dunque attive, disponibili; per $T > 120 \text{ K}$ si instaurerà un regime di saturazione.

Poiché noi studiamo sistemi per $T \approx 300 \text{ K}$, possiamo sempre considerare valida l'ipotesi di completa ionizzazione, ed $N_D^+ = N_D$. Il livello di Fermi E_F si alzerà dalla posizione iniziale E_{F_i} ; esso, come

vedremo, è una sorta di "baricentro dei livelli energetici"; prima di parlare di ciò, torniamo al nostro problema principale, ovvero lo studio delle concentrazioni n e p .

Singhiamo ora di conoscere E_F (non E_{F_i}): consideriamo m il numero di elettroni in banda di convezione nel drogaggio tipo n (indicato dal pedice "n").

$$m_n = N_D e^{-\frac{E_C - E_F}{kT}}$$

$$- \frac{E_F - E_V}{kT}$$

$$p_n = N_V e$$

E_F = livello di Fermi considerando il drogaggio

Tocciamo, come prima, il prodotto delle due equazioni, membro a membro:

$$n_m p_n = N_D N_V e^{-\frac{E_C - E_F}{kT}} e^{-\frac{E_F - E_V}{kT}} = N_D N_V e^{-\frac{E_V - E_C}{kT}} = n_i^2$$

Abbiamo fatto una scelta clamorosa: qualiasi siano le concentrazioni di portatori di carica nelle bande, il loro prodotto è una costante, ed è uguale al quadrato degli elettroni in banda di valenza di un semiconduttore intrinseco (\rightarrow alle lacune in banda di valenza)

$n_m p_n = n_i^2$

Legge dell'azione di marea

Ciò ci fa rendere conto di un problema gravissimo: tecnicamente, non è possibile crescere una delle due concentrazioni senza andare a scapito dell'altra: le due concentrazioni non possono crescere di pari passo, perché il loro prodotto è costante.

Consideriamo ora un'altra cosa: la carica totale del semiconduttore è nulla: ogni lacuna in banda di valenza ha un elettrone in banda di conducibilità corrispondente, ed ogni elettrone derivante dal dopaggio ha un livello (accettore) in dopaggio p , e donatore in dopaggio n ionizzato. Possiamo applicare dunque, globalmente, la condizione di neutralità:

$$q(p_n + N_D^+ - n_n) = 0 \implies p_n + N_D^+ - n_n = 0$$

Dalla legge dell'azione di massa, possiamo dire che

$$p_n = \frac{n_i^2}{n_n} \implies \frac{n_i^2}{n_n} + N_D^+ - n_n = 0$$

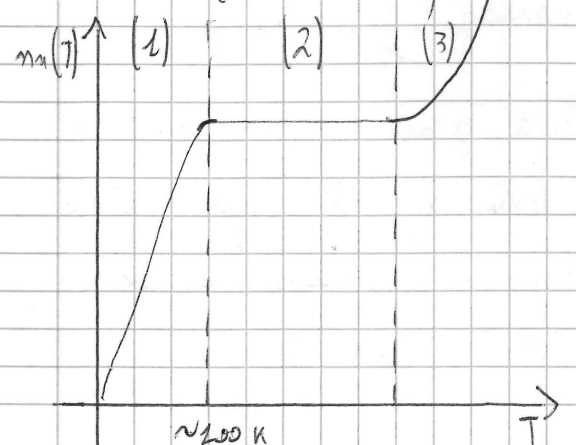
$$n_n^2 - N_D^+ n_n - n_i^2 = 0$$

Abbiamo un'equazione di secondo grado in n_n ; risolviamola e prendiamo solo la radice positiva:

$$n_n = \frac{N_D^+}{2} + \sqrt{\left(\frac{N_D^+}{2}\right)^2 + n_i^2} \Rightarrow \text{Forniamo ora una dipendenza da } T:$$

$$n_n(T) = \frac{N_D^+(T)}{2} \left[\sqrt{1 + \left(\frac{2n_i(T)}{N_D^+(T)} \right)^2} + 1 \right]$$

Ma $n_i(T)$ è noto; di $N_D^+(T)$ conosciamo l'andamento; vediamo:



Abbiamo tre regioni, associate a tre regimi:

- 1) Regime di congelamento
- 2) Regime estrinseco
- 3) Regime intrinseco

1) Per $T \leq 100 \text{ K}$, si sta attivando la ionizzazione dei dopanti, e vi è bassa σ_{sh} a causa della scarsa energia termica.

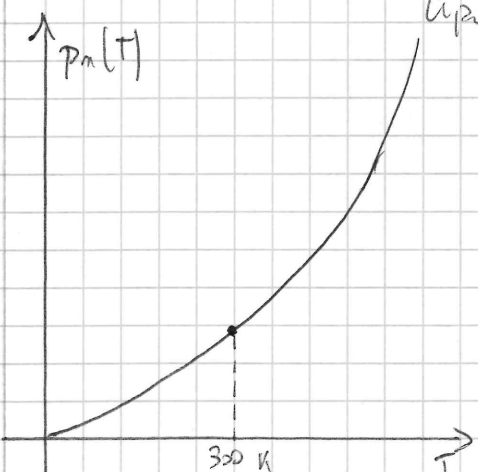
2) Per $T \geq 100 \text{ K}$, $N_D^+ = N_D$; abbiamo completa ionizzazione, ed abbiamo un regime di saturazione, in cui $n_n \approx N_D$; prevediamo dunque le interazioni di tipo elettrostatico su tutte le altre; questo è il regime che noi tecnicamente useremo.

3) Per temperature alte, le interazioni forzano prevedono su quelle elettrostatiche, e così l'effetto del dopaggio tende a perdere; per farci prendere il posto dagli elettroni intrinseci del materiale: $n_n \approx n_i(T)$. Il fatto è nel germanio facile molto facile (cioè per T basso) instaurare questo regime, ma da oltre 300 K la nazione. Il germanio ha E_g piccolo, e dunque n_i cresce molto più rapidamente.

Ci chiediamo ora quale sia l'andamento della funzione $p_n(T)$, ovia delle lacune in banda di valenza in un semiconduttore dopato tipo n .

$$p_n(T) = \frac{n_i^2(T)}{n_n(T)}$$

Noi conosciamo l'andamento sia di $n_i(T)$ sia di $n_n(T)$: l'andamento sarà di questo tipo:



3 portatori minoritari non hanno una zona di saturazione; la nostra concentrazione varierà in modo puramente intrinseco. Alcuni dispositivi sono proprio dominati dai minoritari; sono questi."/>

Su un drogaggio tipo p, la situazione è del tutto analogo:

$$\begin{cases} p_p \cdot n_p = n_i^2 \\ q(p_p - n_p - N_A^-) = 0 \end{cases} \quad ; \quad n_p = \frac{n_i^2}{p_p} \quad ; \quad p_p^2 - N_A^- p_p - n_i^2 = 0 ;$$

$$p_p(T) = \frac{N_A^-(T)}{2} \left[\sqrt{1 + \left(\frac{2n_i(T)}{N_A^-(T)} \right)^2} + 1 \right]$$

L'andamento è dunque del tutto analogo a prima, ed anche per n_p .

Faciamo ora una domanda: cosa capita se drogo sia tipo p che tipo n? Supponiamo di essere tecnologicamente in grado di avere tanta Na quantità N_A ; applicando la neutralità globale e la legge dell'azione di massa,

$$\begin{cases} p \cdot n = n_i^2 \\ q(p - n + N_D^+ - N_A^-) = 0 \end{cases} \quad ; \quad \begin{cases} N_D^+ = N_A^- ; \\ p - n = 0 \end{cases} \Rightarrow p = n = n_i$$

L'effetto di N_D compensa quelli di N_A (e viceversa); per $N_D = N_A$, il semiconduttore torna ad essere intrinseco; basandosi su ciò, possiamo pensare ad un meccanismo di compensazione del drogante: studiamo, oltre a $N_D = N_A$, le altre due caratteristiche:

1) $N_D > N_A$: i donatori prevalgono sugli accettori, e così il drogante tipo donatore in totale sarà N_D^+ :

$$N_D^+ = N_D^+ - N_A^-.$$

2) $N_D < N_A$: come prima, sarà però drogaggio tipo p, con drogante $N_A^- = N_A^- - N_D^+$

Un esempio pratico che vedremo in seguito è il transistor bipolar: dato un semiconduttore drogato in pesantemente, poniamo aprire delle "finestre" di tipo p, ottenendo qualcosa di questo tipo:

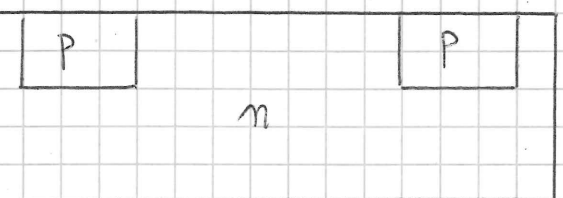
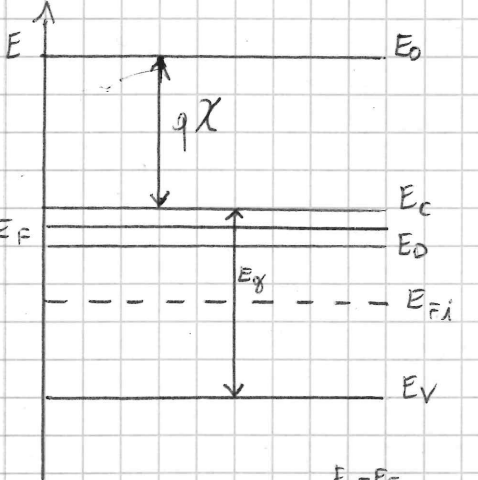


Diagramma a bande di un semiconduttore drogato tipo n



$$n_i \sim N_D = N_A e^{-\frac{E_C - E_F}{kT}} ; \quad E_C - E_F = kT \ln \frac{N_c}{N_A}$$

Possiamo dunque calcolare $E_C - E_F$, e da qui il lavoro di estrazione:

$$q \bar{E}_m = E_C - E_F + qX = qX + kT \ln \frac{N_c}{N_A}$$

A seconda del drogaggio, il lavoro di estrazione varrà da 4,61 a 4,05 eV.

Calcolare E_F così però non è ottimale: col drogaggio tipo p dovranno riferirsi il diagramma a bande, rifare lo stesso confronto da capo, e dover conoscere dati scomodi come E_C e E_V . Una sarebbe:

$$q \bar{E}_{S_p} = qX + E_g - kT \ln \frac{N_c}{N_A}$$

Facciamo qualcosa di diverso: cerchiamo un metodo "globale" per il calcolo del livello di Fermi E_F , sia in semiconduttori tipo n che tipo p (dragni).

Consideriamo (e numeriamo, per facilità) alcune equazioni:

$$1) n = N_c e^{-\frac{E_C - E_F}{kT}} ; \quad 2) p = N_v e^{-\frac{E_F - E_V}{kT}}$$

Consideriamo ora in un semiconduttore intrinseco:

$$3) n_i = N_c e^{-\frac{E_C - E_{F,i}}{kT}} ; \quad 4) p_i = N_v e^{-\frac{E_{F,i} - E_V}{kT}}$$

Ricaviamo, da 3) e 4), N_c ed N_v rispettivamente:

$$5) N_c = n_i e^{\frac{E_C - E_{F,i}}{kT}} ; \quad 6) N_v = p_i e^{\frac{E_{F,i} - E_V}{kT}} = n_i e^{\frac{E_{F,i} - E_V}{kT}}$$

Sostituiamo 5) in 1), e 6) in 2), per vedere d'ó:

$$\begin{aligned} n &= n_i e^{\frac{E_C - E_{F,i}}{kT}} \cdot e^{-\frac{E_C - E_F}{kT}} \\ p &= n_i e^{\frac{E_{F,i} - E_V}{kT}} \cdot e^{-\frac{E_F - E_V}{kT}} \end{aligned}$$

Da qui, ricaviamo le importantissime Equazioni di Shockley:

$n = n_i e^{\frac{E_C - E_{F,i}}{kT}}$	EQUAZIONI DI SHOCKLEY
$p = n_i e^{\frac{E_{F,i} - E_V}{kT}}$	

Sono particolarmente interessanti in quanto N_c ed N_v non ci sono più, ma solo $n_i = 1,43 \cdot 10^{10}$ atomi/cm³ (elettroni). Le due equazioni, insomma, si riferiscono allo stesso livello energetico, come $E_{F,i}$.

Puoi calcolare molto facilmente il livello di Fermi:

$E_F - E_{F,i} = kT \ln \frac{n}{n_i}$
$E_{F,i} - E_F = kT \ln \frac{N_v}{n_i}$

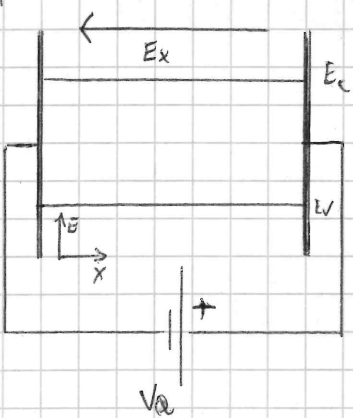
Possiamo considerare ultimamente questa prima trattazione di d'ó che accade in un semiconduttore.

Modello matematico delle correnti nei semiconduttori

In un metallo, gli elettroni sono liberi di muoversi, in movimento. Essi possono solo essere trasportati da un campo elettrico E , che provoca una corrente di drift.

In un semiconduttore, all'equilibrio termodynamico, le correnti sono nulle.

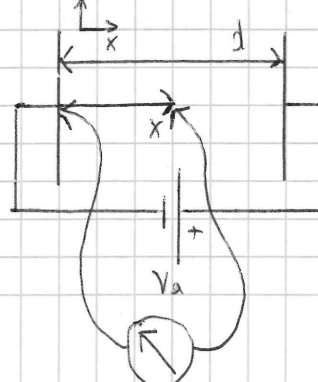
Consideriamo un disegno molto poco significativo, qualitativamente parlando, ma che può forse rendere bene alcune idee:



I contatti sono metallici, collegati ad una batteria che fornisce tensione V_a . Abbiamo un campo elettrico $E_x = E$.

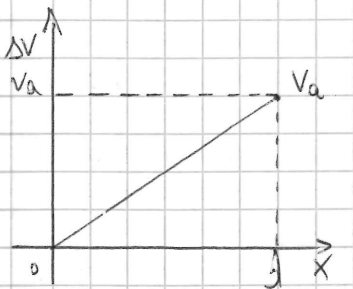
Ci chiediamo: lo effetto farà la tensione V_a

Prendiamo un voltmetro con due puntali ed un condensatore:



Misuriamo la $\Delta V(x)$: mettiamo a terra il puntale sinistro, e con il destro ci misuriamo nel condensatore, misurando ΔV .

La tensione varrà, al verso di x , un andamento:



Continuiamo ora il diagramma dell'energia potenziale di 1 elettrone, ora il suo diagramma a banda. Vediamo come varia la sua energia, muovendosi nel condensatore.

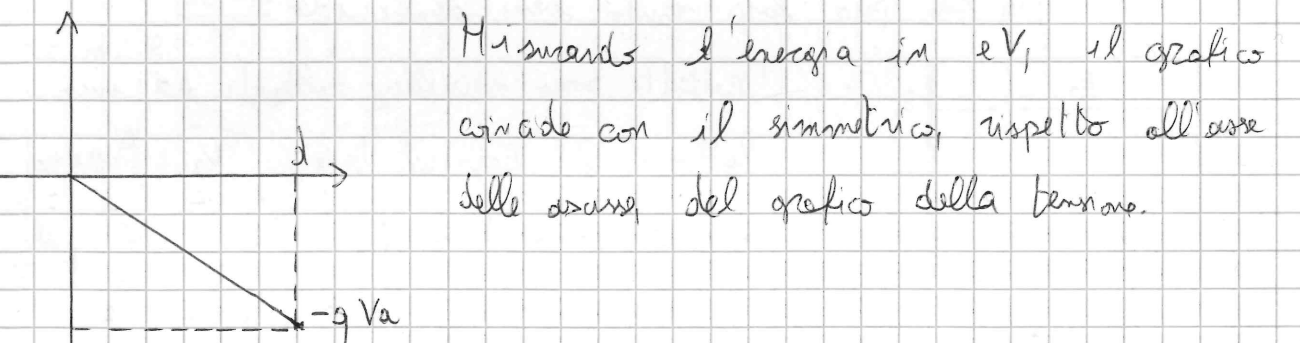
$$E = -\frac{V_0}{d} ; \quad F = -q \cdot E = -q \left(-\frac{V_0}{d} \right)$$

L'energia potenziale rispetto a x , $V(x)$, da 0 a x , sarà uguale a:

$$V(x) = V(0) - \int_{0}^{x} F dx = V(0) - \int_{0}^{x} q \frac{V_0}{d} dx$$

Poiché $V(0) = 0$ perché mettiamo a massa,

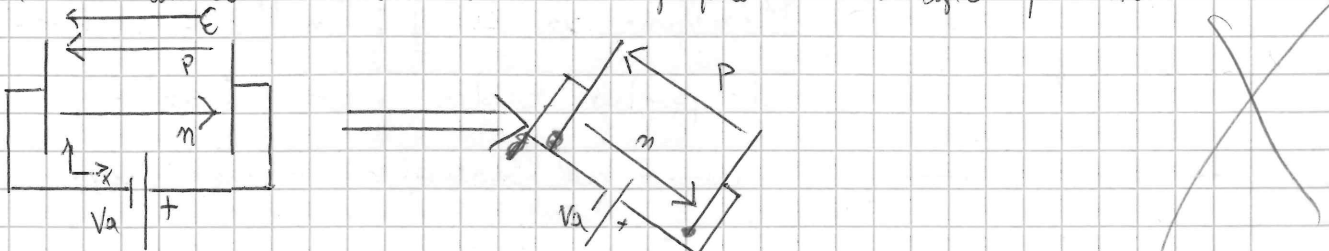
$$V(x) = -\frac{qV_0}{d} \cdot x$$



Ecco dunque un legame tra tensioni ed energie potenziali.

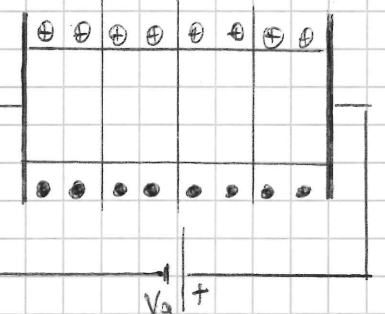
Applicando una tensione al nostro "diagramma invertito", vediamo

che cosa accade l'invilto secondo il grafico dell'energia potenziale:



Questo diagramma "invertito" rappresenta il punto chi vede gli elettroni: il campo elettrico procurato dalla tensione V_0 fa spostare verso il basso (in senso ad esso opposto) gli elettroni, e verso l'alto (in verso ad esso contro) le lacune. Possiamo immaginare le lacune come palline di gomma che vanno verso l'alto, e gli elettroni come gocoline che vanno verso il basso.

Continuiamo a considerare drogati uniformemente i semiconduttori che studiamo; perlandi di correnti, perfezioniamo il disegno di prima:



Essendo drogato in modo uniforme il semiconduttore, se diviso in fetta, presenterà (se tipo n) tantiioni positivi quanti elettroni liberi, anche in ogni singola fetta.

Questo tipo di sistema risulta essere globalmente neutro, ma anche localmente neutro; applicare un campo elettrico non modifica le condizioni di neutralità né globali né locali, e quindi V_0 non cambia la concentrazione degli elettroni in banda di conduzione. Possiamo pensare che ΔV (V_0) sposti gli elettroni verso la lamina di metallo (dritta, in questa rappresentazione), ma ciò ne vengono "prelevati" al contempo altri dall'altra piastra (quella a sinistra). Per la lacuna, concettualmente capita qualcosa di questo genere: un elettrone, assorbito dal contatto metallico, lascia un "buco"; si sarà una nuova lacuna; d'altra parte, le lacune nell'altra piastra (in prossimità di essa) si riuniranno con gli elettroni emessi

(dalla piastra a sinistra); possiamo spiegare intuitivamente così il trasporto di carico.

Scriviamo di formalizzare dicendo cos'è una corrente: una densità di corrente J è un flusso di carico, di elettroni:

$$J = \mathbb{E}_{x_1, e^-} \cdot (-q) \quad [\text{elettroni in banda di conduzione}]$$

Ogni carica avrà velocità $-q$, ma vi saranno anche le lacune:

$$J_+ = \mathbb{E}_{x_1, e^+} \cdot (+q)$$

Da dunque:

$$J = \mathbb{E}_{x_1, e^-} \cdot (-q) + \mathbb{E}_{x_1, e^+} \cdot (+q)$$

Questo nei semiconduttori, dove abbiamo due tipi di portatori di carica.

Cos'è un flusso? Il concetto di flusso è semplicemente il prodotto di una densità per una velocità; considerando per ora un moto di drift (trasporto), avremo che i due flussi saranno:

$$\left\{ \begin{array}{l} \mathbb{E}_{x_1, e^- BC} = n \cdot v_{de^-} \\ \mathbb{E}_{x_1, e^+ BV} = p \cdot v_{de^+} \end{array} \right.$$

Sostituendo in J :

$$J = -q \cdot n \cdot v_{de^-} + q \cdot p \cdot v_{de^+}$$

Continuiamo a parlare di v_d , ma di fatto noi la conosciamo: essa è una velocità non reale, ma media dell'intera popolazione; si tratta di un parametro fittizio, descrivente la velocità media che un elettrone acquisisce "tra un atto ed un altro".

Definiamo una nuova relazione:

$$v_{d, e^-} = \mu_n E \quad \mu = \text{mobilità dei portatori}$$

$$v_{d, e^+} = \mu_p E \quad E = \text{campo elettrico}$$

$$\mu_n = \frac{q \beta}{m_n^*} \quad | \quad \mu_p = \frac{q \beta}{m_p^*}$$

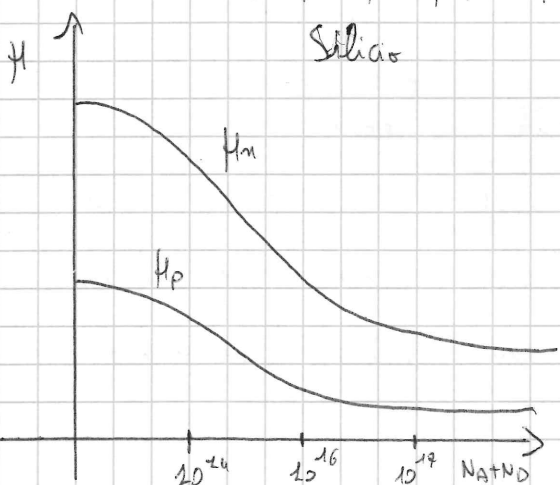
$$\mu_n = \frac{q \beta}{m_n^*} \approx \frac{q \lambda}{m_n^* N_{th}} \quad \checkmark$$

λ ha una forte dipendenza dalla qualità del vettore.

Riassumendo, la mobilità degli elettroni è maggiore di quella delle lacune, a parità di condizioni, poiché $m_n^* < m_p^*$. La mobilità risulta di alcune caratteristiche:

- Maggior sarà la temperatura maggiore sarà l'interazione con i nuclei, e minore sarà la mobilità
- Maggior sarà il numero di imperfezioni del vettore, minore sarà la mobilità dei portatori
- Maggior sarà il disegno, e dunque le concentrazioni ($N_A + N_D$), minore sarà la mobilità dei portatori di carica

In via grafica, $\mu_p \circ \mu_n$ degradano in questo modo:



La compensazione dei dopanti, tende a degradare violentemente le mobilità dei portatori.

μ sarà funzione di N_n , N_p e T .

Vediamo alcune equazioni:

$$J_{n,\text{drift}} = (-q) \cdot n \cdot (-\mu_n) \cdot E$$

$$J_{p,\text{drift}} = q \cdot p \cdot \mu_p \cdot E$$

La densità di corrente di drift totale sarà:

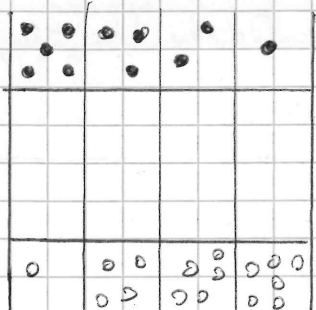
$$J_{\text{tot,drift}} = (q \cdot \mu_n \cdot n + q \cdot \mu_p \cdot p) E = J \cdot E$$

$$\boxed{J = \frac{I}{A} = q \cdot \mu_n \cdot n + q \cdot \mu_p \cdot p}$$

In un metallo, la condutibilità è solo affidata agli elettroni; in un semiconduttore, bisogna comunque considerare anche le lacune in banda di valenza.

È possibile che, a causa di fenomeni o motivi elettrici/tecnologici, si abbia una concentrazione degli elettroni in banda di conduzione

non uniforme:



In questo caso, ponendo, vediamo che non ottempo più valida la condizione di neutralità locale della carica

In una situazione come questa (probabile come vedremo in un semiconduttore), è possibile una diffusione degli elettroni, causata dal gradiente della concentrazione. Gli elettroni tendono ad uniformarsi, e dunque ad occupare le regioni del semiconduttore con meno elettroni.

Possiamo dire delle cose: un gradiente della concentrazione provoca una diffusione degli elettroni, ma quindi un flusso di elettroni.

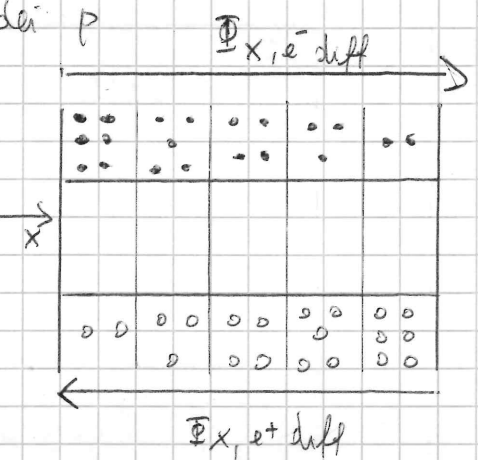
D'altra parte, vi sarà essere anche un flusso di lacune, che tendono anch'esse a uniformarsi.

Vi devono essere due flussi di portatori, dunque, non soltanto ad un campo elettrico E , ma ad un gradiente di concentrazione.

Dovremo considerare dunque due nuove correnti: quelle dovute alla diffusione degli n e dei p

$$J_{n,\text{diff}} = -q \mathbb{E}_{x,e-\text{diff}}$$

$$J_{p,\text{diff}} = q \mathbb{E}_{x,e+\text{diff}}$$



Possiamo scrivere che:

~~$$\mathbb{E}_{x,e-\text{diff}} = -D_m \frac{\partial n}{\partial x}$$~~

~~$$\mathbb{E}_{x,e+\text{diff}} = -D_p \frac{\partial p}{\partial x}$$~~

D_m sono i coefficienti di diffusione rispettivamente di elettroni in banda di conduzione e di lacune in banda di valenza

Possiamo considerare questo moto come quello di un gas; il gradiente della concentrazione di elettroni è negativo (secondo il nostro sistema di riferimento), ma quindi il flusso positivo.

In un metallo, questa situazione non si può realizzare per la natura stessa del metallo; in un semiconduttore, sì.

Esprimiamo tutto ciò con un certo formalismo:

$$J_{m,\text{diff}} = +q \frac{\delta n}{\delta x}$$

$$J_{p,\text{diff}} = -q \frac{\delta p}{\delta x}$$

$$J_{\text{diff}} = J_{m,\text{diff}} + J_{p,\text{diff}}$$

Se ricorriamo da qualche sistema D_m e D_p , troviamo le cosiddette "relazioni di Einstein":

$$\boxed{D_m = \frac{kT}{q} \mu_m}$$

$$\boxed{D_p = \frac{kT}{q} \mu_p}$$

$\frac{kT}{q}$ è detta "equivalenza in termine della temperatura";

$\frac{kT}{q} @ 300 \text{ K} \approx 26 \text{ mV}$

$$V_T = \frac{kT}{q}$$

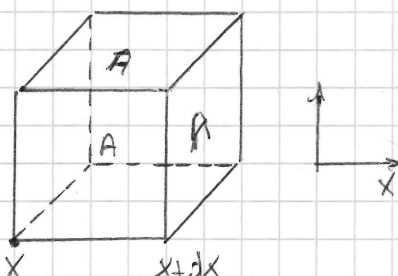
Abbiamo dunque trovato i primi due "pini" del nostro modello matematico: le relazioni di Einstein e le equazioni del trasporto

$$\boxed{J_m = q \mu_m n E + q D_m \frac{\delta n}{\delta x}}$$

$$\boxed{J_p = q \mu_p p E - q D_p \frac{\delta p}{\delta x}}$$

Proseguiamo il nostro modello, introducendo un terzetto fondamentale: l'equazione di continuità

Equazione di continuità



Dato un cubo di lato dx , e sezione A , vogliamo quantificare la carica contenuta.

Al livello x c'è una carica, e vogliamo sapere che capita in $x+dx$

Formalizziamo:

$$\frac{\delta n}{\delta t} \cdot A \, dx = \frac{J_m(x) \cdot A}{-q}$$

Vediamo meglio: la variazione del numero di elettroni nel tempo, nel volume, è uguale alla densità di carica diviso alla carica fondamentale, ovvero al flusso di carica.

In realtà, dovremo anche considerare, nella transizione nel cubo, altri fenomeni: potremo avere, nel cubo, fenomeni di Gth e/o di ricombinazione. Poniamo dunque dire che

$$\frac{\delta n}{\delta t} \, A \, dx = \frac{J_m(x) \cdot A}{-q} - \frac{J(x+dx) \cdot A}{-q} + (G_{\text{th}} - R) A \cdot dx$$

Sviluppiamo in serie, $J_m(x+dx)$:

$$J_m(x+dx) \approx J_m(x) + \frac{\delta J_m(x)}{\delta x} dx$$

Da ciò:

$$\frac{\delta n}{\delta t} \, A \, dx = \frac{J_m(x) \cdot A}{-q} - \frac{J_m(x) \cdot A}{-q} - \frac{\delta J_m}{\delta x} \cdot \frac{1}{-q} \cdot dx + (G_{\text{th}} - R) A \cdot dx$$

$$\Rightarrow \frac{\partial n}{\partial t} = \frac{\partial J_m}{\partial x} \cdot \frac{1}{q} + (G_{th} - R)$$

Sì è soliti definire il "tasso medio di ricombinazione" di elettroni V_m :

$$V_m = R - G_{th}$$

$$\Rightarrow \frac{\partial n}{\partial t} = \frac{\partial J_m}{\partial x} \cdot \frac{1}{q} - V_m$$

Poniamo ora ricavare analogamente l'equazione di continuità per le lacune: partendo dalla "solita"

$$\frac{\partial p}{\partial t} A dx = \frac{J_p(x) \cdot A}{q} - \frac{J_p(x+dx)}{q} + (G_{th} - R) A dx$$

Sviluppando in polinomi

$$J_p(x+dx) \sim J_p(x) + \frac{\partial J_p}{\partial x} dx$$

$$\frac{\partial p}{\partial t} A dx = \cancel{\frac{J_p(x)A}{q}} - \cancel{\frac{J_p(x)A}{q}} - \frac{1}{q} \frac{\partial J_p}{\partial x} A dx + (G_{th} - R) A dx =$$

$$\Rightarrow \frac{\partial p}{\partial t} = - \frac{1}{q} \frac{\partial J_p}{\partial x} - V_p$$

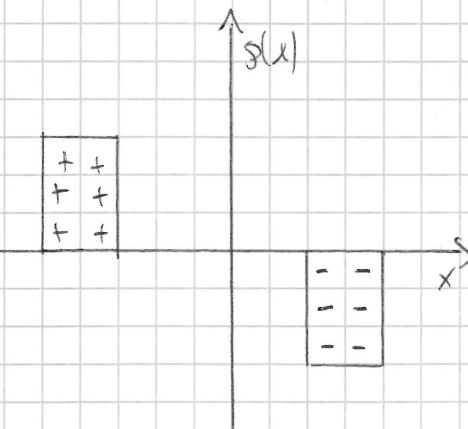
Il nostro modello matematico è ancora coerente: non ci è possibile riferirsi ai termini precisi di quest'equazione, perché conosciamo ancora molto poco.

L'idea è: prese le due equazioni di continuità, poniamo sostituire all'interno le equazioni di trasporto; le soluzioni di queste nuove equazioni saranno le due densità di portatori, $n(x,t)$ e $p(x,t)$; come integrandi oppone anche però ϵ , il campo elettrico, ed il termine

di ricombinazione.

Supponiamo di avere, rispetto ad una condizione di equilibrio, uno "spostamento di carica", che può instaurare gradienti di concentrazione, e, dunque, diffusione mediante il generarsi di flussi di portatori.

Dovremo dunque considerare anche questo moto di carica, all'interno del nostro modello matematico.



Supponiamo di avere degli ecessi locali di carica; il noto è globalmente neutro, ma non localmente. A causa degli ecessi di carica, si formeranno campi elettrici nella zona compresa tra i due ecessi, non trascurabili.

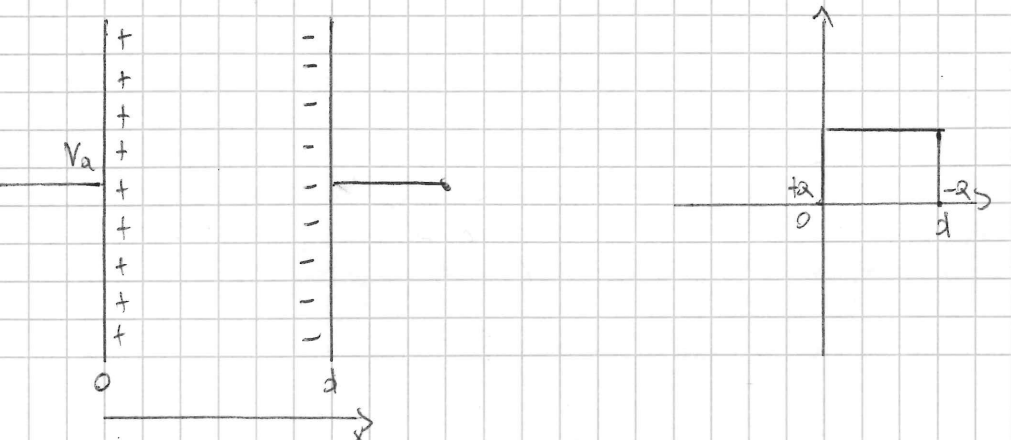
Ha $s(x)$ nei semiconduttori an-

$$s(x) = +q(p(x,t) - n(x,t) + N_D^+(x) - N_A^-(x))$$

Data la distribuzione delle cariche, ci influenzano del campo E .

Regime carica - campo elettrico

Dato un modello semplificato di condensatore ad armatura piatta senza effetti di bordo, applicato $\Delta V = V_0$, vediamo:



$E(x)$ fuori dal condensatore è nullo; vediamo in breve come ricavarlo:

$$E(x) = -\frac{\partial \Phi}{\partial x}, \quad \Phi \text{ potenziale}$$

$$\Phi(x) = - \int_0^x E(x) dx \Leftrightarrow \Phi(x) = \Phi(0) - \int_0^x E_1 dx$$

$\Phi(0)$ è a messa, quindi $\Phi(0)=0$ per convenzione.

$$\Phi(x) = -E_1 \cdot x$$

$$E_1 = -\frac{V_a}{d}$$

$$\text{Ma } Q = C \cdot V_a, \text{ e } C = \frac{\epsilon_0}{d}$$

$$V_a = \frac{Q}{C}; \quad V_a = \frac{Q}{\epsilon_0 \cdot d}; \quad -E_1 \cdot d = \frac{Q}{\epsilon_0 \cdot d}$$

$$E_1 = -\frac{Q}{\epsilon_0 \cdot d}$$

Obliamo trovato, in questo particolare caso, un'espressione del campo E_1 . Vogliamo però qualcosa di più generale, per poter definire al meglio i nostri modelli.

Una generalizzazione dell'esperienza la "legge di Gauss", è la seguente

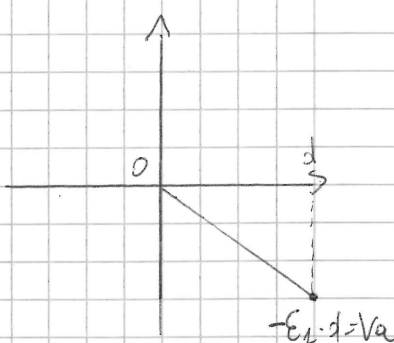
Equazione di Poisson:

$$\frac{\partial^2 \Phi}{\partial x^2} = -\frac{g(x)}{\epsilon_s}$$

ϵ_s = Costante dielettrica del semiconduttore; E sarà il campo elettrico.

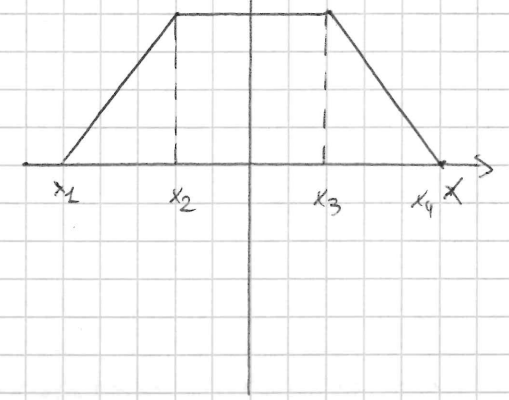
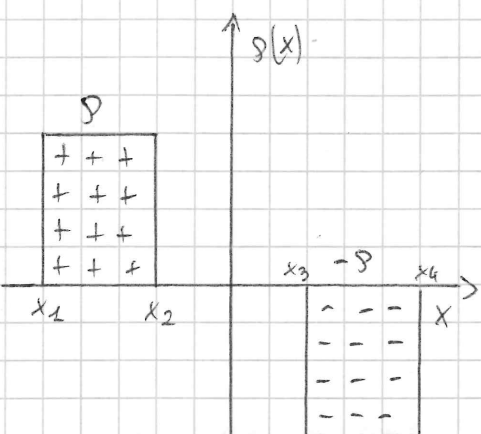
Poiché $E = -\frac{\partial \Phi}{\partial x}$, mediante l'equazione di Poisson poniamo che:

$$E(x) = \int \frac{g(x)}{\epsilon_s} dx$$



Consideriamo un esempio pratico, per capire la profonda utilità dell'equazione:

$$E(x) = \int \frac{g(x)}{\epsilon_s} dx = \frac{g(x)}{\epsilon_s} x$$



Da $-\infty$ a x_1 il campo è costantemente nullo; addentrandosi nella densità di carica, il campo crescerà, fino ad uscire; resterà costante da x_2 a x_3 , dopodiché la densità di carica negativa riporterà il campo. Questo è lo studio dell'integrale di $\frac{g(x)}{\epsilon_s}$.

Integrando $E(x)$, vediamo che

$$\Phi(x) = - \int E(x) dx \quad (\Phi(x_1)=0)$$

$E(x) > 0 \forall x$; l'integrale comincia

di segno senz'altro negativo, e sarà così:

da x_1 a x_2 , integriamo una quantità

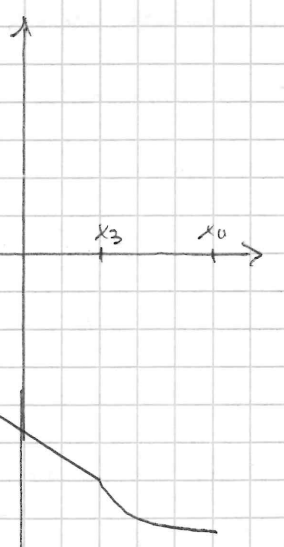
lineare, che diverrà parabolica (istru-

da x_3 a x_4); da x_2 a x_3 integreremo

una funzione lineare, o meglio costantemente

lineare, che diverrà lineare con una pendenza.

L'equazione di Poisson avrà un posto d'onore nel modelli matematici, poiché ci fornirà le informazioni sul campo e sul potenziale.



Condensazioni su semiconduttori fuori equilibrio

Aggiorniamo la nostra simbologia: quando trattiamo quantità

all'equilibrio termodinamico, usiamo il pedice aggiuntivo \circ

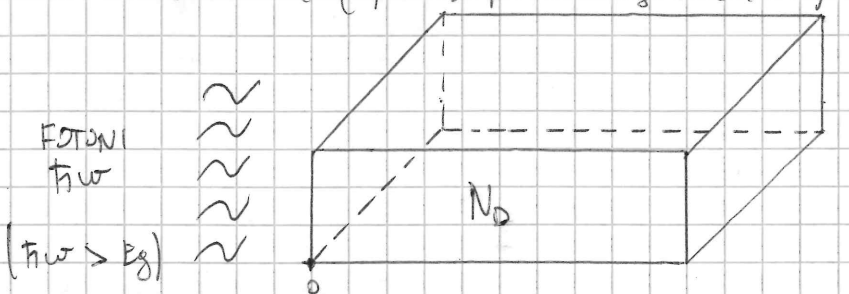
Esempio: $n_{\text{so}}; n_{\text{po}}; n_{\text{no}}; p_{\text{so}}; p_{\text{po}}; p_{\text{no}}$

In casi di non-equilibrio, varieranno i soliti simboli più generali:

Esempio: $n_i; n_p; n_n; p_i; p_{\text{p}}; p_n$.

Come poniamo creare un esempio di situazione di non-equilibrio?

Prendiamo il nostro semiconduttore (per esempio dargato con N_D)



Traschiamo una sola "faccia" del nostro semiconduttore con fotoni ν_w ; supponendo che la loro energia sia maggiore del gap, genereremo diverse coppie elettrone-lacuna: stabiliremo la parità in percentuale

di 0, $n_n(0)$ ed $p_n(0)$ rispetto ai valori di inizio n_{so} ed p_{so} .

Questo tipo di processo si chiama "generazione ottica Goff", per ora considera puramente additiva.

Supponendo di avere $N_D = 10^{16}$, $n_{\text{so}} = N_D$, $p_{\text{so}} = 10^4$, mettiamo che ν_w genera 10^{13} coppie; allora, $n_n \approx n_{\text{so}} = 10^{16}$; $p_n = 10^4 + 10^{13} = 10^{13}$.

I portatori maggioritari non vengono alterati, quelli minoritari sì.

Questo tipo di fenomeno è detto "basso livello di iniezione".

E' allora una $G_{\text{th}} = 10^{-18}$, sia i maggioranti che i minoritari vengono alterati, e così si ha un "alto livello di iniezione".

Perdiamo ora di completare il nostro modello matematico, introducendo un modello del tasso netto di ricombinazione: supponiamo prima di iniziare di avere un semiconduttore all'equilibrio, e sempre $n = n_{\text{so}}$, $p = p_{\text{so}}$; in questo caso, la generazione termica esiglierà la ricombinazione: per ogni generazione termica vi è la ricombinazione antagonista, che non permette la variazione della situazione.

Potremo immaginare che questo sia un caso limite del nostro modello: vi dovrebbe essere un coefficiente α di proporzionalità che permette di regolare la ricombinazione in questo modo:

$$R = \alpha n_{\text{so}} p_{\text{so}}$$

Se "cresciamo" uno dei due portatori, tende anche a crescere il fenomeno di ricombinazione. Prendiamo questa proporzionalità come un postulato.

Averemo detto che, all'equilibrio termodinamico, $R = G_{\text{th}}$:

$$R = \alpha n_{\text{so}} p_{\text{so}} = G_{\text{th}}$$

Ad un basso livello di iniezione, puoi volerai, ma $n \approx n_{\text{so}}$; da ciò:

$$R = \alpha n p$$

Difendendo V_R il tasso medio di ricombinazione,

$$V_R = R - G_{\text{th}} = \alpha n p - \alpha n_{\text{so}} p_{\text{so}}$$

$$V_R = \alpha n_{\text{so}} (p - p_{\text{so}}) = \alpha N_D (p - p_{\text{so}})$$

Questo perché $n_n \approx N_D \approx N_A$ (ipotesi di completa ionizzazione)

Definendo τ_p tempo di vita medio delle buche,

$$\tau_p \triangleq \frac{e}{dN_D}$$

$$U_p = \frac{p_n - p_{n0}}{\tau_p}$$

Cosa ci dice ciò: noi, drogando, a seconda di quanto più droghante immettiamo nel semiconduttore, faremo sempre più abbassare la vita dei portatori minoritari.

Abbiamo così realizzato un modello di U_p ; spesso $p_n - p_{n0} = p_n'$, ossia "l'ecceso di lacune nel semiconduttore drogato tipo n".

$$U_p = \frac{p_n'}{\tau_p}$$

Christensen, p' od al suo duale n' hanno senso solo fuori equilibrio, perché in altro caso sarebbero nulli.

Valgono le relazioni

$U_p = \frac{p_n - p_{n0}}{\tau_p}$	$U_n = \frac{n_p - n_{p0}}{\tau_n}$
-------------------------------------	-------------------------------------

Questo è un modello di ricarica diretta, ora basato su transizioni di tipo diretto dell'elettrone in diversi stati energetici.

Esistono modelli che prevedono transizioni indirette, ma ciò non toglie che questo non sia inadeguato;

Abbiamo ora completato il modello matematico dei semiconduttori

MODELLO MATEMATICO DEI SEMICONDUTTORI

Esercizio Pratico: dato un campione di silicio, drogato con $N_A = 10^{16}$ atomi/cm³

1.1) Disegnare diagramma a bande del tagliato all'equilibrio termolivante

1.2) Calcolare la resistenza sapendo che $l = 1 \text{ mm}$, $A = 1 \text{ mm}^2$

Successivamente, si droghi lo stesso campione con $N_D = 10^{17}$

2.1) Ripetere 1.1

2.2) Ripetere 1.2

3) Sapendo che il semiconduttore è illuminato con una radiazione

luminosa che genera 10^{13} coppie elettrone-lacuna sulla faccia

posta in ∞ ; si calcoli come le lacune in corso si ridistribuis-

cano nel semiconduttore con $\tau_p = 1 \text{ ms}$

4) Supponendo di ripetere l'analisi del punto 3 avendo applicato

$-1V$ al campione, se ne valuti l'effetto.

Risoluzione:

$$1.1) P_p = \frac{N_A}{2} \left[\sqrt{1 + \frac{2n_i(300)}{N_A(300)}} + 2 \right] \quad \text{Ma } N_A(300) = N_A; \\ n_i = 1,45 \cdot 10^{10}$$

$$P_p(300) \approx N_A$$

Calcoliamo il livello di Fermi: mediante le equazioni di Shockley, vediamo

che:

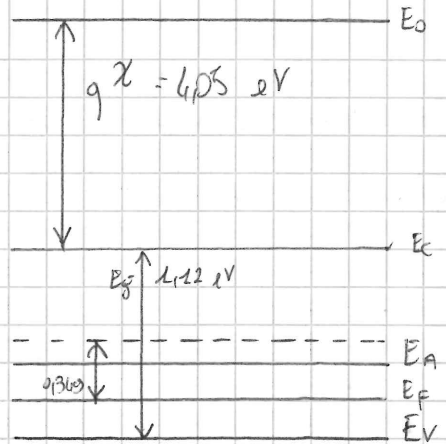
$$P_p(300) \approx N_A = n_i \quad \text{e} \quad -\frac{E_{F_i} - E_F}{kT} = \ln \frac{N_A}{n_i}$$

$$kT \approx 0,026 \quad N_A = 10^{16} \quad$$

$$= 369 \text{ meV}$$

$$qI_S = q\chi + \frac{E_g}{2} + E_{F_i} - E_F = 4,05 + 0,369 + 0,369 = 4,739$$

Il disegno questo sarà:



$$1.2) R = \rho \cdot \frac{l}{A} = \frac{l}{S} \cdot \frac{l}{A}$$

$$J = J_E$$

$$J = q(\mu_m \cdot n + \mu_p \cdot p)$$

$$\mu_m = 1250$$

$$\mu_p = 350$$

$$\rho = 1,6 \cdot 10^{-10}$$

$$p = 10^{16}$$

Applicando la legge dell'azione di massa,

$$n_p \cdot p_p = n_i^2 \Rightarrow n_p = \frac{n_i^2}{p_p} = 2,1 \cdot 10^4$$

$n_p \ll p_p \Rightarrow$ possono trascurare i minoranti

$$J \approx q \cdot \mu_p \cdot p_p = 2,766 \frac{\text{A}}{\text{cm}^2}$$

$$J = 2,766 \frac{\text{A}}{\text{cm}^2}$$

5 punti 2.1 e 2.2 si fanno in modo del tutto analogo,
considerando la composizione del drogante N_A con N_D .

Saranno il punto 3, divulgando l'alvita per margine preciso

3) Abbiamo fotoni che generano otticamente 10^{13} coppie elettrone-lacuna,
instaurando un regime di basso livello di iniezione:

$$\begin{cases} p_{n0} \ll 10^{13} \\ n_{n0} \gg 10^{13} \end{cases}$$

Partendo dal modello matematico consideriamo l'equazione di continuità:

$$\frac{\delta p_m}{\delta t} = - \frac{L}{q} \frac{\delta J_p}{\delta x} - U_p$$

Consideriamo che la generazione ottica sia stazionaria, non abbia cioè variazioni nel tempo, e dunque derivata temporale nulla:

$$\frac{\delta p_m}{\delta t} = 0 \implies - \frac{L}{q} \frac{\delta J_p}{\delta x} - U_p = 0$$

Ma nel nostro modello,

$$U_p = \frac{R_m - P_{m0}}{B_p} \quad ; \quad J_p = q N_p p_m \epsilon - q D_p \frac{\delta p_m}{\delta x}$$

Consideriamo però il fatto che, essendo isolato il semiconduttore, non abbiano fenomeni di polarizzazione: il campo elettrico esterno sarà 0:

$$E_{ext} = 0$$

Potrebbe esservi però un E_{int} , in condizioni di non-neutralità locale:

Se Gott intende però carica neutra, $\rho = 0$, $E_{int} = 0$.

Il problema che può scaturire è che la diffusione potrebbe avere velocità diverse tra elettroni e lacuni: questo ultimo ha una mobilità molto più ridotta, quindi potrebbe generare un campo in seguito ad un gradiente di diffusione anche solo temperaneo; introduciamo un'ipotesi di "quasi neutralità": $\epsilon \approx 0$.

Consideriamo il fatto che ϵ agirebbe solo sulla corrente dei minoritari, e dunque non ci provocherebbe problemi sensibili.

Accettando tale ipotesi, l'equazione di trasporto sarà:

$$J_p \approx -q D_p \frac{\delta p_m}{\delta x}$$

L'equazione di continuità:

$$0 = - \frac{L}{q} D_p \frac{\delta^2 p_m}{\delta x^2} - \frac{P_m - P_{m0}}{B_p}$$

Considerando $p_m' = p_m - P_{m0}$, $\frac{\delta^2 p_m'}{\delta x^2} = \frac{\delta^2 p_m}{\delta x^2}$ (differenza a meno di una costante P_{m0})

Dunque:

$$\frac{\delta^2 p_m'}{\delta x^2} = \frac{L}{D_p B_p} \cdot p_m' \quad \Rightarrow \quad \text{Ci ricordiamo dell'equazione omogenea di II ordine:}$$

$$\lambda^2 = \frac{1}{D_p B_p} \quad \lambda_{1,2} = \pm \frac{1}{\sqrt{D_p B_p}}$$

$D_p B_p$ è una lunghezza quadratica, dimensionalmente:

Definiamo la "lunghezza di diffusione" come: $\lambda = \sqrt{D_p B_p}$

$$\lambda = \sqrt{D_p B_p}$$

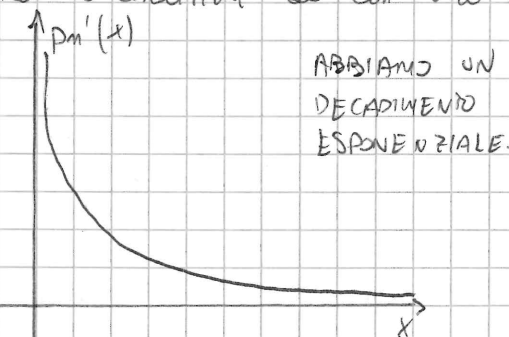
$$p_m'(x) = A e^{\frac{-x}{\lambda}} + B e^{\frac{x}{\lambda}} = A e^{\frac{-x}{\lambda}} + B e^{\frac{x}{\lambda}}$$

Per determinare A e B ci serviranno 2 condizioni al contorno:

$$1) p_m'(0) = 0 \implies A = 0$$

$$2) p_m'(L) = 10^{-13} \implies B = 10^{-13}$$

$$p_m'(x) = 10^{-13} e^{-\frac{x}{\lambda}}$$



ABBIANO UN DECADIMENTO ESPOENZIALE.

Ciò è così motivabile: si ha un processo di diffusione e al contempo uno di riunione, e così ottengono due fenomeni dominanti per i portatori minoritari.

Facciamo alcune osservazioni riguardo le due condizioni al contorno:

1) Ha senso confrontare l mm (lunghezza del semiconduttore) con ∞ ?

Sí, se $L_p \ll l$ mm:

$$L_p = \sqrt{D_p \cdot Z_p} \approx 23 \mu\text{m}$$

Quindi molto inferiore a l mm.

2) Sulla faccia $x=0$, avviene la Goto, dunque possiamo dire senza estensione che $p_m'(0) = 10^{13}$.

Ora, divergiamo dal problema, che sarebbe praticamente terminato; esistono casi (molto comuni, in microelettronica/mosfet) in cui i dispositivi hanno $d = 50 \mu\text{m}$, o meno! La condizione L non è applicabile, in questi casi, $p_m'(x)$ sarà sempre forma regolare:

$$p_m'(x) = Ae^{\frac{x}{L_p}} + Be^{-\frac{x}{L_p}}$$

Al fine di ricavare nuove condizioni al contorno, valide, è necessario fare altre ipotesi assuntive. Il semiconduttore, molto corto, viene per ipotesi chiuso in di un metallo, con due placcette, al fine di avere un contatto ohmico.

Si costruisce dunque un contesto tecnologico tale per cui la condizione al contorno sia:

$$p_m'(d) = 0$$

Se contatto metallico, sul punto estremo " d ", provoca una totale riemarginazione. Le nostre due condizioni saranno:

$$\begin{cases} p_m'(d) = 0 \\ p_m'(0) = A + B \end{cases} \implies B = p_m'(0) - A$$

$$0 = Ae^{\frac{d}{L_p}} + (p_m'(0) - A)e^{-\frac{d}{L_p}}$$

Quindi, svolghiamo i passaggi ed esplicitiamo A e B :

$$0 = A \left(e^{\frac{d}{L_p}} - e^{-\frac{d}{L_p}} \right) + p_m'(0) e^{-\frac{d}{L_p}} ; \text{ Ma } e^{\frac{d}{L_p}} - e^{-\frac{d}{L_p}} = 2 \sinh \left(\frac{d}{L_p} \right)$$

$$A = \frac{-p_m'(0) e^{-\frac{d}{L_p}}}{2 \sinh \left(\frac{d}{L_p} \right)}$$

$$B = p_m'(0) + \frac{p_m'(0) e^{-\frac{d}{L_p}}}{2 \sinh \left(\frac{d}{L_p} \right)} = 2 \sinh \left(\frac{d}{L_p} \right) p_m'(0) + p_m'(0) e^{-\frac{d}{L_p}} =$$

$$= \frac{p_m'(0) e^{\frac{d}{L_p}} - p_m'(0) e^{-\frac{d}{L_p}} + p_m'(0) e^{-\frac{d}{L_p}}}{2 \sinh \frac{d}{L_p}}$$

Sostituendo A e B nell'equazione di partenza, si ottiene:

$$p_m'(x) = \frac{-p_m'(0) e^{-\frac{d}{L_p}} \cdot e^{\frac{x}{L_p}} + p_m'(0) e^{\frac{d}{L_p}} \cdot e^{-\frac{x}{L_p}}}{2 \sinh \left(\frac{d}{L_p} \right)} =$$

$$= \frac{p_m'(0) \left(e^{\frac{d-x}{L_p}} - e^{-\frac{d-x}{L_p}} \right)}{2 \sinh \left(\frac{d}{L_p} \right)} = \frac{\sinh \left(\frac{d-x}{L_p} \right)}{\sinh \left(\frac{d}{L_p} \right)}$$

Questo, sempre, quando $d \approx L_p$.

Esesto un terzo caso: $d \ll L_p$, e dunque $d \ll x$.

Mediante Taylor, dunque, possiamo dire che $\sinh(x) \approx x$.

Da ciò:

$$p_m'(x) \approx \frac{p_m'(0) \cdot \frac{d-x}{L_p}}{\frac{d}{L_p}} = p_m'(0) \left(1 - \frac{x}{d} \right)$$

Terminiamo questa divergenza, che ci ha portato risultati molto generali per diverse casistiche di problemi.

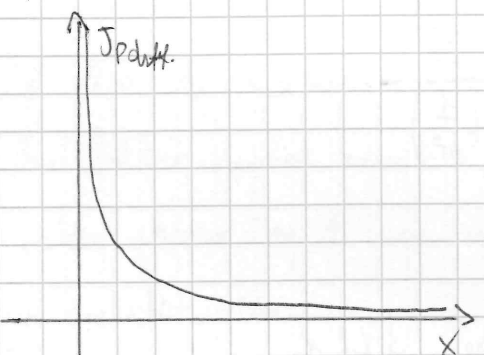
Nel nostro problema, abbiamo studiato la distribuzione dei portatori, che tra poco raffigureremo. Prima ci chiediamo: vi sono correnti nel semiconduttore, a queste condizioni? La corrente totale, indipendentemente dalla distribuzione, dovrebbe essere nulla: se così non fosse, vi sarebbero degli accumuli nel tempo, che però violerebbero la legge di conservazione della carica.

Dato che, per semiconduttori lunghi,

$$pn'(x) = pn'(0) e^{-\frac{x}{L_p}}, \text{ allora:}$$

$$J_{p,\text{diff.}}(x) = -q D_p \frac{\partial p_n}{\partial x} = \frac{q pn'(0) D_p}{L_p} e^{-\frac{x}{L_p}}$$

La variazione di concentrazione dovrebbe provocare una corrente di questo tipo:



Si può intuire che ci sia un flusso di elettroni che annullerà questa corrente, in modo da garantire la conservazione della carica.

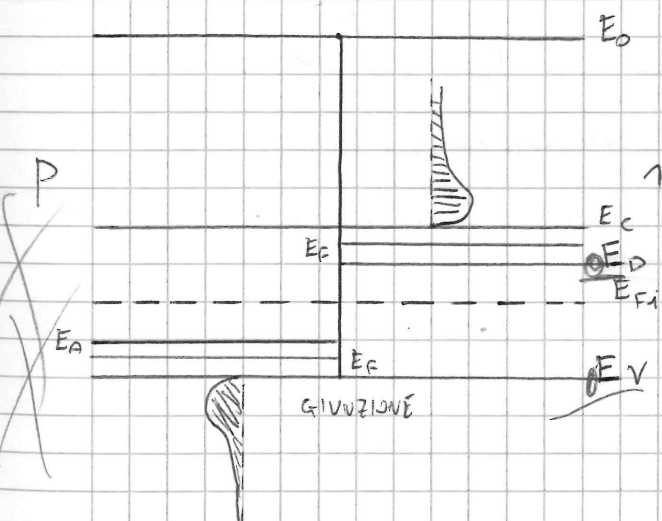
Determineremo in seguito la discussione del problema; ci preoccupiamo ora di introdurre una prima applicazione pratica di ciò che abbiamo finora studiato.

La Giunzione p-n

Dati due pezzi di semiconduttore (diciamo di silicio), drogati uno tipo n, ed uno tipo p, essi avranno un certo diagramma a bande, diverso sotto alcuni punti di vista.

Immaginiamo didatticamente di unire i due semiconduttori; i potenziali dei due semiconduttori, in principio scostati tra loro, una volta uniti, avranno uno stesso riferimento di base: considerando come "tempo 0" l'istante di unione dei semiconduttori, in un tempo $t=0^+$, i due "potenziali del punto" E_0 saranno coincidenti.

Poiché inoltre trattiamo due pezzi di silicio, E_C , E_V , E_F saranno sullo stesso livello energetico. Tracciamo dunque un primo diagramma a bande della giunzione:



Notiamo una particolarità: il livello di Fermi, E_F , risulta essere una quantità discontinua.

Vedremo in seguito che ciò non è cosa giusta.

A destra della giunzione, avrà molti elettroni in banda di conduzione, e poche lacune in banda di valenza; a sinistra, viceversa, pochi elettroni in banda di conduzione e molte lacune in banda di valenza. Vi saranno di fatto accumuli di carica, che provocheranno flussi di portatori: dal lato p al lato n di lacuni, dal lato n al lato p di elettroni.

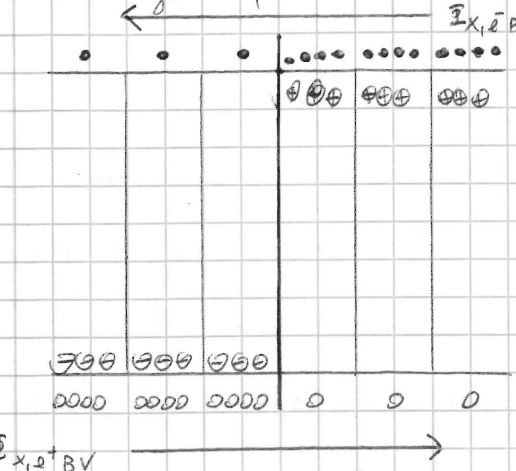
Questi flussi sussisteranno, fino a quando sussisteranno le discontinuità nei livelli energetici, nella fattispecie quella sul livello di Fermi. Per un certo intervallo di tempo, non avranno due flussi netti:

$$1) \oint_{x_0^- \text{ BC}} n \rightarrow p$$

$$2) \oint_{x_0^+ \text{ BV}} p \rightarrow n$$

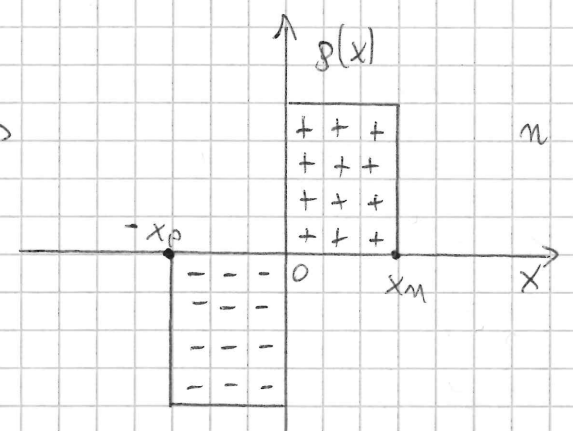
Vogliamo cercare di capire come può instaurarsi un equilibrio, da questa situazione. Possiamo dire che, partendo dalle informazioni sui due flussi, vi sono due canali di scambio separati: generazione termica e ricombinazione sono fenomeni molto più "lenti" dei due flussi, quindi per noi trascurabili.

Se per un certo intervallo di tempo ha uno spostamento di portatori di carica, succederà che, venendo a mancare elettroni in banda di conduzione (in n), e lacuna in banda di valenza (in p), si perderà la condizione di neutralità locale: in banda di conduzione il semiconduttore tipo n si popola nelle regioni vicine al contatto con il lato p , e viceversa il semiconduttore tipo p si popola di lacune nella regione vicina al contatto con il lato n .



Gli ioni \oplus saranno sbilanciati, e idem gli ioni \ominus , così si perderà la neutralità locale.

Per lo studio della giunzione, dovremo ottenerci ad un modello semplificativo: considereremo, come ipotesi, che, in prossimità della giunzione, avvenga uno "spostamento completo": nelle zone sottostanti, resteranno in gioco solo gli ioni, perché non vi saranno portatori rimasti nei livelli prossimi alla giunzione. Sarà dunque facile rappresentare la distribuzione spaziale di carica:



Aldilà di una certa regione, di un certo punto, il semiconduttore sarà neutro.

Poiché siamo in ipotesi di totale sussistimento, la densità di carica coincide con la concentrazione di portatori.

Cioè da cosa ci chiediamo è: ma qual è la posizione del solito? Dove la carica inizia ad essere zero?

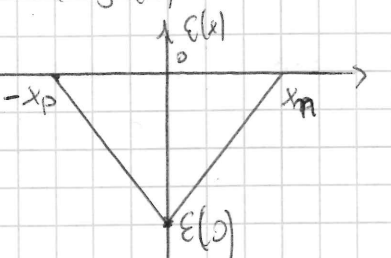
Ha risposto, che sarà poi mobilitata, è la seguente: dove il livello di Fermi smette di essere discontinuo.

Il nostro problema è: quanto la regione carica è estesa?

Come è possibile studiarne la geometria? Nella fattispecie, vorremmo poter studiare $-x_0$ e x_m , ma soprattutto i loro valori una volta raggiunto l'equilibrio, ossia $x_m = -x_0$. Questi valori saranno ottenuti in seguito ad una crescita temporale di x_m e x_0 rispetto al loro stato iniziale. Nel punto di equilibrio, non ci sono carica, e dunque i due flussi saranno nulli.

Studiamo qualitativamente, mediante l'equazione di Poisson, il campo ed il potenziale legato a $\mathcal{G}(x)$:

$$E(x) = \int \frac{\mathcal{G}(x)}{E_s} dx$$



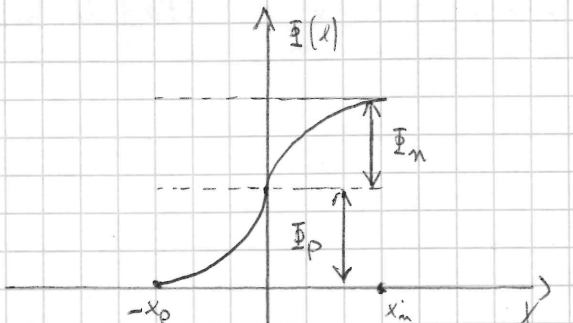
QUALITATIVAMENTE:

(integrandi una sezione di volta minore di zero, ed una maggiore di zero, si curva due contributi lineari)

Studiamo ora il potenziale del campo E , $\mathbb{E}(x)$:

$$\mathbb{E}(x) = - \int E(x) dx$$

QUALITATIVAMENTE:



Abbiamo due contributi del potenziale: uno dento al lato p, ed uno dento al lato n.

Invece che il potenziale E , studiamo "l'energia potenziale" U :

$$U(x) = -q \mathbb{E}(x)$$

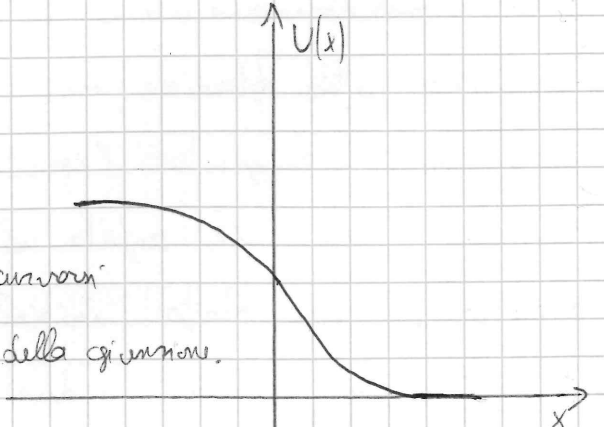
Ora "ribaltiamo" il grafico del potenziale E , e consideriamo la misura sarà un'energia E : avremo ottenuto il diagramma a bande dell'elettrone

Il lato n, sarà "scendere",

e il lato p "salire": lo sposta-

mento di carica ha determinato il curvare

di alcuni livelli energetici nella zona della giunzione.



Questa deformazione, porta all'allineamento del livello di Fermi nell'intero sistema. Tentiamo di rappresentare il diagramma a bande all'equilibrio:

DIN.

A

BAND
SCHITZO. //

Notiamo che viene a fornire una barriera di potenziale, non meno che scorre il flusso di portatori: più passa il tempo, più portatori transiscono, più diventa difficile passare dall'altra parte della sponda.

Quando ci è equilibrio, i flussi sono del tutto bilanciati: il flusso di elettroni in banda si condensa dal lato n a quello p equivalente e bilancia quello dal lato p a quello n; item per le lacune:

$$\mathbb{E}_{x_e^{-} BC}^{n \rightarrow p} = \mathbb{E}_{x_e^{+} BC}^{p \rightarrow n} \quad \text{(1)} \quad \text{(2)}$$

$$\begin{cases} L = 2 \\ 3 = 4 \end{cases}$$

$$\mathbb{E}_{x_e^{-} AV}^{n \rightarrow p} = \mathbb{E}_{x_e^{+} AV}^{p \rightarrow n} \quad \text{(3)} \quad \text{(4)}$$

Le barriere di potenziale si modulano, fino a bilanciare questi flussi: ciò coincide con il bilanciare il livello di Fermi.

Vediamo come ciò sia possibile, con una semplice dimostrazione.

Dati due materiali, "1" e "2", essi saranno caratterizzati da una propria distribuzione di densità degli stati energetici, e da una funzione di occupazione degli stati, di Fermi - Dirac, caratterizzata dal livello di Fermi proprio del materiale.

$$1 \left\{ \begin{array}{l} g_1(E) \\ f_1(E) \Leftrightarrow E_{F1} \end{array} \right. \quad 2 \left\{ \begin{array}{l} g_2(E) \\ f_2(E) \Leftrightarrow E_{F2} \end{array} \right.$$

Immaginiamo che sia stato raggiunto l'equilibrio termodinamico, in seguito al contatto. Ciò significa che, per ogni generico livello energetico E , deve garantire un equal fluxo di portatori, e cioè i flussi devono essere fra loro bilanciati.

$$\frac{\Phi_{x^+}}{x^+} |_{1 \rightarrow 2} = \frac{\Phi_{x^-}}{x^-} |_{2 \rightarrow 1}$$

Perché ciò sia possibile, dobbiamo far sì che un stato insieme sia occupato, ed uno finale libero: vediamo come esprimere ciò.

$$[g_1(E) \cdot f_1(E)] \cdot [g_2(E) (1-f_2(E))] = \Phi_{x^+} |_{1 \rightarrow 2} |_E$$

$$[g_2(E) \cdot f_2(E)] \cdot [g_1(E) (1-f_1(E))] = \Phi_{x^-} |_{2 \rightarrow 1} |_E$$

Svolgendo i conti,

$$g_1 \cdot f_1 \cdot g_2 - g_1 \cdot f_2 \cdot g_2 = g_2 \cdot f_2 \cdot g_1 - g_2 \cdot f_1 \cdot g_1$$

$$\Rightarrow f_1 = f_2$$

$$\Rightarrow \frac{l}{1 + e^{\frac{E-E_{F1}}{kT}}} = \frac{l}{1 + e^{\frac{E-E_{F2}}{kT}}}$$

Fissata una certa E qualunque, ciò è vero se e solo se

$$E_{F1} = E_{F2}$$

Tentiamo ora di meglio definire tutto ciò che capita, per poi studiare in modo dettagliato carica, campo, e potenziale.

Se tentassimo di costruire il diagramma a bande della giunzione, con le nostre attuali conoscenze, ci accorgemmo di alcune cose:

- 1) $E_F(x)$ è costante, ovunque; $E_F(x) = E_F$
- 2) Intorno alla giunzione, abbiamo i materiali che si confrontano come se la giunzione non esistesse, e dunque una neutralità locale e globale.
- 3) I livelli energetici sono tutti continui, e cioè non presentano salti
- 4) L'affinità elettronica è costante
- 5) B_g è costante

Regola "extra" è la seguente: se il semiconduttore ha carica positiva, il diagramma a bande è concavo; se ha carica negativa, è convesso.

Medianti queste 5 proprietà, abbiamo un metodo per disegnare un diagramma a bande, in modo qualitativo; possiamo ora pensare ad una cosa: potremmo applicare su E_{F1} (y) ed E_F le equazioni di Shockley i considerando per $\rightarrow \infty$ un punto distante dalla giunzione della parte del semiconduttore p, e $\leftarrow \infty$ un punto distante dalla giunzione della parte del semiconduttore n;

$$n_p(\pm \infty) = n_i e^{\frac{E_F - E_{F1}(\pm \infty)}{kT}} \quad ; \quad p_n(\pm \infty) = n_i e^{\frac{E_F(\pm \infty) - E_F}{kT}}$$

Le equazioni di Shockley sono utili in quanto, mediante la loro applicazione, potrai trovare a conoscere il numero di elettroni e lacune in

ogni punto della giunzione.

Vorremmo ora poter quotare il diagramma a bande; per poter far ciò, ci mancano alcuni dati: x_{po} , x_{no} , e la barriera di potenziale \bar{E}_i . Iniziamo ora uno studio dell'effetto e quantitativo della giunzione, in modo da poter determinare i parametri mancanti.

Studio elettostatico della giunzione

Abbiamo tre incognite:

- x_{no} : ampiezza avanzamento lato n
- x_{po} : ampiezza avanzamento lato p
- \bar{E}_i : potenziale interno tra il lato p ed il lato n.

Poi d'abbiamo tre incognite, ci serviranno tre equazioni indipendenti:

1) Equazione di neutralità globale; in forma generale, era la forma:

$$-\int_{-x_p}^0 g(x) dx = \int_{x_n}^m g(x) dx$$

Nel nostro caso specifico, date le ipotesi di semiconduttore onegeno, di completa ionizzazione dei dopanti, e di completo avanzamento, l'equazione si ridurrà a:

$$q \cdot N_A \cdot x_{po} = q \cdot N_D \cdot x_{no}$$

Ci mancano altre due equazioni; la seconda potrebbe derivare da un'analisi del diagramma a bande: la barriera di potenziale deve a formarsi tra il lato n ed il lato p, e, infatti, la differenza dei due livelli di estensione, nei due lati:

2) Data la barriera di potenziale \bar{E}_i ,

$$\bar{E}_i = q \bar{E}_{sp} - q \bar{E}_{sn}$$

Questa differenza, si può pensare in termini della semplice differenza dei livelli di Fermi intrinseci, in punti sostanti dalla giunzione:

$$\bar{E}_i = E_{F1}(-\infty) - E_{F1}(+\infty)$$

Allora, poniamo aggiungere e togliere lo stesso numero all'equazione, ed essa resterà invariata: facciamolo con E_F

$$\bar{E}_i = E_{F1}(-\infty) - E_F + E_F - E_{F1}(+\infty)$$

Le due forme $(E_{F1}(-\infty) - E_F)$ e $(E_F - E_{F1}(+\infty))$ sono riconducibili alle equazioni di Shockley:

$$E_{F1} - E_F = kT \ln \frac{N_A}{n_i} ; E_F - E_{F1} = kT \ln \frac{N_D}{n_i}$$

Applicando le proprietà dei logaritmi,

$$(E_{F1} - E_F) + (E_F - E_{F1}) = kT \ln \frac{N_A N_D}{n_i^2} = q \bar{E}_i$$

La barriera è l'energia positiva così definita: $q \bar{E}_i$.

Diamo spazio ad una convenzione particolare; parlando qualitativamente di potenziale, avremo presente riferimento al punto $-x_{po}$; ora, parlando di energia, al punto x_{no} .

Usando tale convenzione,

$$\bar{E}_i = \frac{kT}{q} \ln \frac{N_A N_D}{n_i^2}$$

Riassumiamo enfaticamente la convenzione:

• \bar{E}_i è un'energia, calcolata come $V(\infty) - V(-\infty)$

• E_i è una tensione, calcolata come $E(+\infty) - E(-\infty)$

Sarebbe più formale considerare il punto di $-\infty$, $-x_{po}$, e al posto di $+\infty$
 x_{no} .

$\bar{E}_i = \bar{E}(x_{no}) - \bar{E}(-x_{po})$ è la definizione di "potenziale di contatto".

~~Abbiamo così trattato due equazioni. Ne manca ancora una, da ottenere mediante l'applicazione puntuale dell'equazione di Poisson~~

3) Partendo da:

$$\bullet E(x) = \int \frac{g(x)}{\epsilon_s} dx$$

$$\bullet \bar{E}(x) = - \int E(x) dx$$

E da solo, cerchiamo di studiare campo e potenziale, legati alla densità di carica $g(x)$.

g sarà definita come una funzione a tratti:

$$g(x) = \begin{cases} 0 & -\infty \leq x \leq -x_{po} \\ -qNa & -x_{po} \leq x \leq 0 \\ +qNo & 0 \leq x \leq x_{no} \\ 0 & x_{no} \leq x \leq +\infty \end{cases}$$

Possiamo calcolare, per regioni, il campo elettrico $E(x)$, lascenndo sul fatto che, in un intervallo $[a, b]$,

$$E(x) = E(a) + \int_a^x \frac{g(x)}{\epsilon_s} dx$$

Studiamo ognuna delle quattro zone:

• $-\infty \leq x \leq -x_{po}$

$$E(x) = E(-\infty) + \int_{-\infty}^x \frac{0}{\epsilon_s} dx ; \text{ Fisso } E(-\infty)=0, E(x)=0.$$

$$E(-x_{po})=0.$$

• $-x_{po} \leq x \leq 0$

$$E(x) = E(-x_{po}) + \int_{-x_{po}}^x -\frac{qNa}{\epsilon_s} dx = -\frac{qNa}{\epsilon_s} (x+x_{po})$$

$$E(0) = -\frac{qNa}{\epsilon_s} x_{po}$$

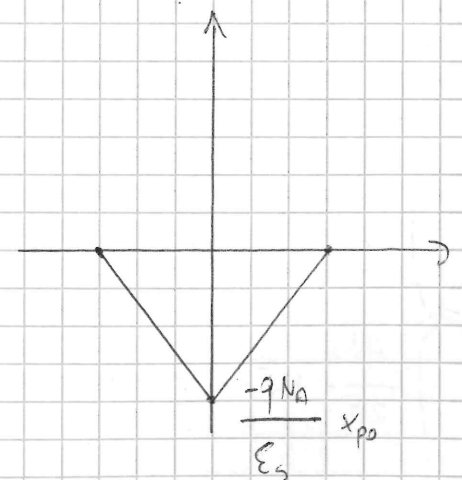
• $0 \leq x \leq x_{no}$

$$E(x) = E(0) + \int_0^x \frac{qNa}{\epsilon_s} dx = -\frac{qNa}{\epsilon_s} x_{po} + \frac{qNa}{\epsilon_s} x$$

$$E(x_{no}) = -\frac{qNa}{\epsilon_s} x_{po} + \frac{qNa}{\epsilon_s} x_{no}$$

• Applichiamo la neutralità, si verifica che, per $x_{no} \leq x \leq +\infty$,
 $E(x)=0$.

$$E(x) = \begin{cases} 0 & -\infty \leq x \leq -x_{po} \\ -\frac{qNa}{\epsilon_s} (x+x_{po}) & -x_{po} \leq x \leq 0 \\ -\frac{qNa}{\epsilon_s} x_{po} + \frac{qNo}{\epsilon_s} x & 0 \leq x \leq x_{no} \\ 0 & x_{no} \leq x \leq +\infty \end{cases}$$



Calcoliamo ora il potenziale $\Phi(x)$:

• $-\infty < L < -x_{p0}$

$$\Phi(x) = \Phi(-\infty) - \int_{-\infty}^x 0 dx = 0 \quad \Phi(-x_{p0}) = 0$$

• $-x_{p0} < L < 0$

$$\Phi(x) = \Phi(-x_{p0}) - \int_{-x_{p0}}^x \frac{qN_A}{\epsilon_s} (x + x_{p0}) dx =$$

$$= 0 + \frac{qN_A}{2\epsilon_s} (x + x_{p0})^2$$

$$\Phi(0) = \frac{qN_A}{2\epsilon_s} x_{p0}^2$$

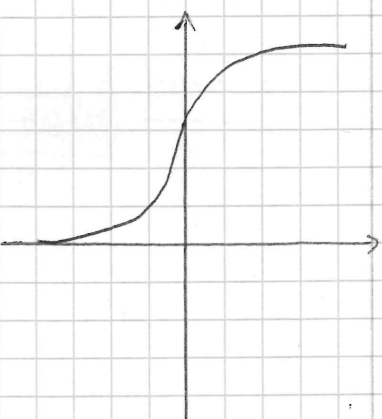
• $0 < L < x_{n0}$

$$\Phi(x) = \Phi(0) - \int_0^x \frac{qN_A}{\epsilon_s} x_{p0} + \frac{qN_D}{\epsilon_s} x dx = \frac{qN_A}{2\epsilon_s} x_{p0}^2 + \frac{qN_A}{\epsilon_s} x_{p0} x - \frac{qN_D}{2\epsilon_s} x^2$$

$$\Phi(x_{n0}) = \Phi_i = \frac{qN_A}{2\epsilon_s} x_{p0}^2 + \frac{qN_A}{\epsilon_s} x_{p0} x_{n0} - \frac{qN_D}{2\epsilon_s} x_{n0}^2$$

• Applichiamo la neutralità, si verifica che, per $x_{n0} < L < 0$, il potenziale è costante.

$$\begin{cases} 0 & L < -x_{p0} \\ \frac{qN_A}{2\epsilon_s} (x + x_{p0})^2 & -x_{p0} < L < 0 \\ \frac{qN_A}{2\epsilon_s} x_{p0}^2 + \frac{qN_A}{\epsilon_s} x_{p0} x - \frac{qN_D}{2\epsilon_s} x^2 & 0 < L < x_{n0} \\ \frac{qN_A}{2\epsilon_s} x_{p0}^2 + \frac{qN_A}{\epsilon_s} x_{p0} x_{n0} - \frac{qN_D}{2\epsilon_s} x_{n0}^2 & x_{n0} < L < 0 \end{cases}$$



Abbiamo già studiato la neutralità, nella terza equazione; ora accenniamola ulteriormente, per fare alcune osservazioni, di carattere geometrico: il triangolo è l'andamento dell'area delle cariche, ma il potenziale è l'andamento dell'area del triangolo.

Possiamo dunque dire che la barriera è:

$$\Phi_i = \frac{qN_A}{2\epsilon_s} x_{p0}^2 + \frac{qN_D}{2\epsilon_s} x_{n0}^2 = \Phi_p + \Phi_m$$

Possiamo distinguere i contributi del lato p e del lato m alla formazione della barriera.

Abbiamo determinato tre equazioni:

$$1) qN_A x_{p0} = q N_A x_{n0}$$

$$2) \Phi_i = \frac{kT}{q} \ln \frac{N_A N_D}{m_i}$$

$$3) \Phi_i = \frac{qN_A}{2\epsilon_s} x_{p0}^2 + \frac{qN_D}{2\epsilon_s} x_{n0}^2$$

Mettendo a sistema la 1 e la 3, possiamo far "sparire" x_{p0} e x_{n0}:

$$1) x_{p0} = x_{n0} \frac{N_D}{N_A} \Rightarrow 3) \Phi_i = \frac{qN_A}{2\epsilon_s} x_{n0}^2 \cdot \frac{N_D^2}{N_A^2} + q \frac{N_D}{2\epsilon_s} x_{n0}^2$$

$$\Phi_i = \frac{qN_D}{2\epsilon_s} \left(1 + \frac{N_D}{N_A} \right) x_{n0}^2 = \frac{qN_D}{2\epsilon_s} \left(\frac{N_A N_D}{N_A} \right) x_{n0}^2$$

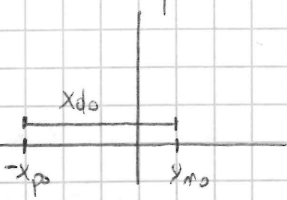
Picché la 2 ci fornisce Φ_i , possiamo dire che

$$x_{n0} = \sqrt{\frac{2\epsilon_s}{qN_D} \cdot \Phi_i \cdot \frac{N_A}{N_A + N_D}}$$

Abbiamo così ricavato ogni dato per disegnare il diagramma a bande.

Studiamo meglio l'ultima equazione: possiamo definire un x_{d0} come

$$x_{d0} = x_{n0} - (-x_{p0}) = x_{n0} + x_{p0}$$



Dunque,

$$x_{n0} + \frac{x_{p0}}{N_A} = x_{d0}; \quad x_{n0} \left(1 + \frac{N_A}{N_D}\right) = x_{d0}$$

$$x_{d0} = x_{n0} \left(\frac{N_A + N_D}{N_A}\right);$$

$$x_{d0} = \sqrt{\left(\frac{N_A + N_D}{N_A}\right)^2 \cdot \frac{N_A}{N_A + N_D} \cdot \frac{2E_S}{qN_D} \cdot \frac{1}{\epsilon_i}} = \sqrt{\frac{N_A + N_D}{N_A} \cdot \frac{2E_S}{qN_D} \cdot \frac{1}{\epsilon_i}}$$

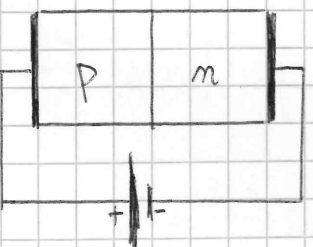
Si definisce la media aritmetica dei due dopaggi come:

$$N_{eq} = \frac{\frac{L}{N_A} + \frac{L}{N_D}}{\frac{1}{N_A} + \frac{1}{N_D}} = \frac{N_A N_D}{N_A + N_D}$$

$$x_{d0} = \frac{2E_S}{qN_{eq}} \cdot \frac{1}{\epsilon_i}$$

Allora finora studiato in caso di equilibrio. Potremmo ora pensare a così perturbati dall'esterno, mediante il collegamento di una batteria

Va alla questione

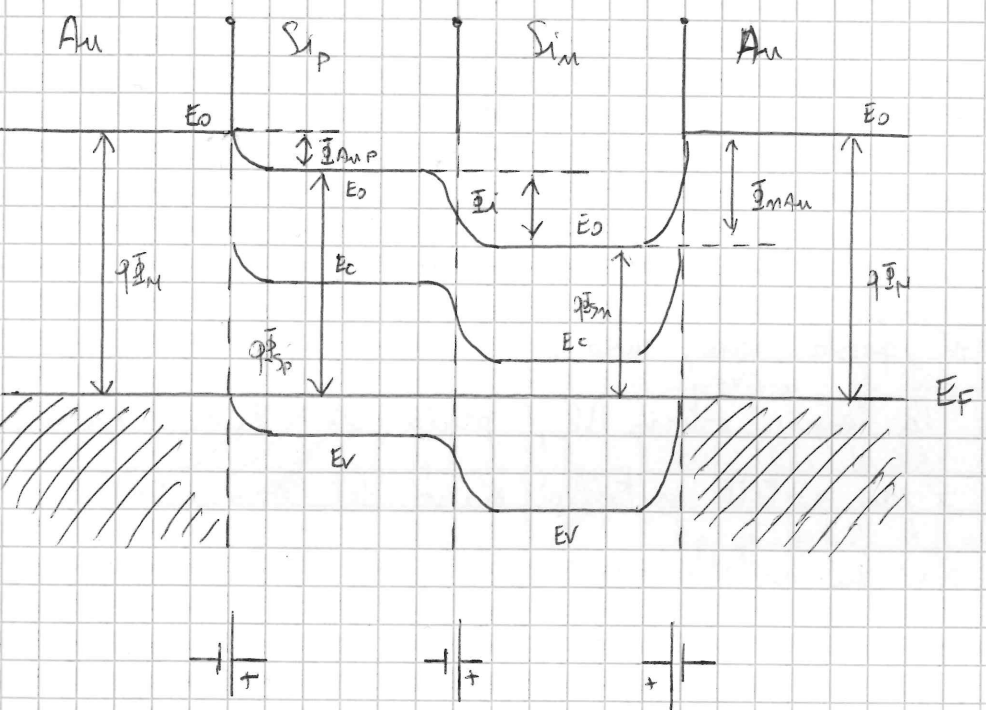


Si noti che la convenzione usata è sempre: il "+" del lato p, il "-" al lato n.

I contatti sono metallici, supponiamo di oro (Au); per accedere elettricamente a un semiconduttore è necessario mettesserne gli estremi. Avrà dunque tre interface, e quindi tre potenziali di contatto.

Potremmo disegnare il diagramma a banda del nostro sistema

Au-Si-Du; ricordiamo dunque le caratteristiche del metallo, in cui vi è solo livello di Fermi e banda di conduzione. Perché supponiamo di trovarsi in uno stato di equilibrio, potremo supporre che il livello di Fermi sarà orunque costante. Il metallo non potrà presentare concavità nei livelli energetici, a causa della natura "fluida" dei propri portatori. Intanto delle interface i materiali riporteranno come isolanti.



Cosa osserviamo: Au ha un livello di estrazione un po' superiore a quello del silicio; gli E_o in entrambe le placche d'oro è uguale; l'interfaccia si caratterizza solo da punto di vista del semiconduttore".

Oltre alla barriera \bar{E}_i , avremo altre due barriere, causate dalla differenza tra i lavori di estrazione. Gli tensioni di contatto si può circuitalmente rappresentare con una batteria: il contatto Au-Si_P sarà con una tensione positiva rispetto a p-n-m, perché è dall'alto verso

il basso. La terza avrà una tensione negativa rispetto a p_1 , e quindi sarà negativa.

Potremo raffigurare il circuito in questo modo:



Potremo scrivere l'equazione alla maglia, nel seguente nodo:

$$-\bar{I}_{Au,p} - \bar{I}_i + \bar{I}_{m,Au} = 0$$

Da ciò potremo ricavare che

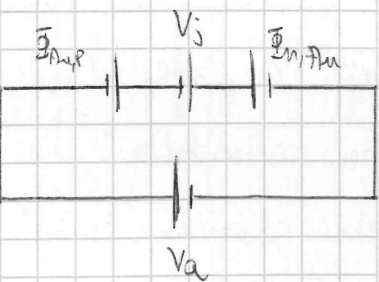
$$\bar{I}_i = \bar{I}_{m,Au} - \bar{I}_{Au,p} \quad [\text{ci servirà in seguito}]$$

Supponiamo di poter avere un voltmetro ideale: esso non potrebbe misurare niente, perché i potenziali di contatto "bilanciano" la tensione interna, e così questa sarà nulla.

Collegiamo ora la tensione esterna V_a , preniamo lo stesso ipotesi:

supponiamo che i due contatti metallici siano dei buoni contatti, ossia non vi sia nei contatti alcuna caduta di tensione, e quindi dovrà avere una resistenza serie circa nulla.

Potremo riconoscere il circuito precedente, con una batteria V_a in serie:



Arriverà una tensione incognita V_j , sulla giunzione: V_j sarà detta "tensione sulla giunzione fuori equilibrio".

La tensione nella maglia sarà:

$$-V_a - \bar{I}_{Au,p} - V_j + \bar{I}_{m,Au} = 0$$

$$V_j = \bar{I}_{m,Au} - \bar{I}_{Au,p} - V_a ; \text{ ma } \bar{I}_{m,Au} - \bar{I}_{Au,p} = \bar{I}_i$$

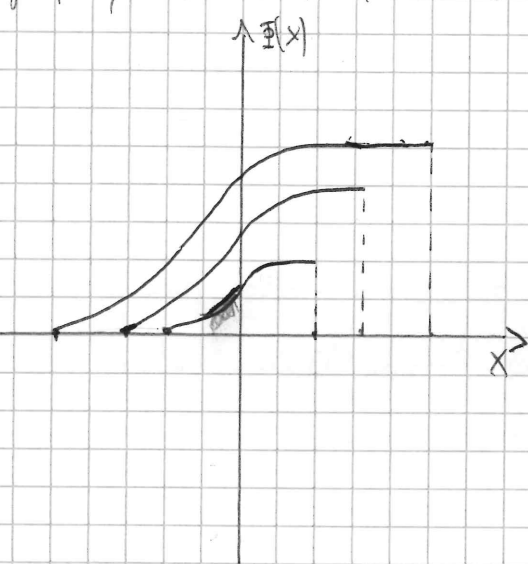
$$\Rightarrow V_j = \bar{I}_i - V_a$$

Quando applico una tensione positiva sul lato p , si abbassa la tensione sulla giunzione.

A questo punto, due definizioni:

- Una giunzione polarizzata con $V_a > 0$, ha "polarizzazione diretta".
- Una giunzione polarizzata con $V_a < 0$, ha "polarizzazione inversa".

Questa tensione provoca alcune interessanti conseguenze: disegniamo, in un grafico, la distribuzione della tensione all'equilibrio, con $N_{p(x)}$ e $N_{n(x)}$.



Se concentriamo le stesse cariche nell'intervallo in cui si localizza la tensione, una x_m è x_p . Con $V_a > 0$, x_p diminuisce e con $V_a < 0$, x_p aumenta.

Trascurando (come da ipotesi) cadute resistive, capiti ciò: sapiamo che le distribuzioni di carica sono: $+qN_{p(x)}$ (negativo), $+qN_{n(x)}$ (positivo). Le tensioni, fatto le nostre ipotesi, dipendono solo dagli ioni. Se la tensione esterna modula la barriera, allora modula potenzialmente campo, e cerca.

In una V_a positiva ridurranno la regione di sussistenza; le portabontà, e se V_a non può variare il dragaggio del semiconduttore,

quindi N_A ed N_D sono invarianti; varierà invece x_n ed x_p ; integrando la carica modulata dalla tensione esterna, varierà, nel tempo, l'intervallo di integrazione, ma non la "pendenza" dei lati del triangolo. Sarà proprio questa pendenza, ulteriormente integrata, a fornire la concavità della distribuzione della tensione V_i : ciò dimostra come vari l'intervallo, ma non la pendenza/concavità.

Potremmo chiedersi: come si calcola la V_a con l'ampiezza dell'intervallo di integrazione x_d ?

L'idea è sostituire, alla \bar{E}_i in condizione di equilibrio, la V_i , $V_i = \bar{E}_i - V_a$

Dunque

$$x_d(V_a) = \sqrt{\frac{2\epsilon_s}{qN_{eq}}} (\bar{E}_i - V_a) \quad x_d \sim 10^{-7} \text{ m}$$

In realtà, l'effetto della tensione può essere molto più interessante di una semplice variazione di x_d : la tensione $V_a > 0$ riduce la barriera di potenziale, e così il flusso dei portatori viene modificato, e nello specifico si generano delle correnti.

Del punto di vista elettrostatico, una tensione esterna fa variare le regioni di sussistenza, e quindi la carica positiva q^+ e quella negativa q^- .

Un effetto molto interessante della tensione è quello di rendere visibile una capacità del semiconduttore; vediamo.

Dato che V_a modifica $qN_A x_n(V_a)$, e $-qN_D x_p(V_a)$, la situazione può ricordare un condensatore.

Data una q , si può definire una capacità C come:

$$C = \left| \frac{dq}{dV} \right|$$

Consideriamo come tensione la V_a , e come carica ad esempio quella positiva, q^+ . Ci servirà una ϵ^+ funzione di V_a , per poterne calcolare la derivata in V_a .

$$\text{Ha } \epsilon^+ = qN_D x_n(V_a);$$

$$x_n(V_a) = \sqrt{\frac{2\epsilon_s N_A}{qN_D(N_A+N_D)}} (\bar{E}_i - V_a)$$

$$q^+(V_a) = \sqrt{\frac{2\epsilon_s N_A N_D^2}{qN_D(N_A+N_D)}} (\bar{E}_i - V_a) = \sqrt{2q\epsilon_s N_{eq}} (\bar{E}_i - V_a)$$

Derivando e facendo il modulo, si trova che

$$C = \left| \frac{dq^+(V_a)}{dV_a} \right| = \frac{q\epsilon_s N_{eq}}{\sqrt{2\epsilon_s q N_{eq}} (\bar{E}_i - V_a)} = \frac{q^2 \epsilon_s N_{eq}}{\sqrt{2\epsilon_s q N_{eq}} (\bar{E}_i - V_a)}$$

$$= \sqrt{\frac{q\epsilon_s N_{eq}}{2(\bar{E}_i - V_a)}} = C(V_a)$$

Si noti che C è funzione della tensione V_a : esso è considerabile in tensione, nel senso che la sua capacità varia con la tensione se gli viene applicata.

Ragioniamo in modo diverso:

$$x_d(V_a) = \sqrt{\frac{2\epsilon_s}{qN_{eq}}} (\bar{E}_i - V_a);$$

$$\Rightarrow C(V_a) = \frac{\epsilon_s}{x_d(V_a)}$$

~~Ottiamo~~ scopriamo una cosa interessantissima: un semiconduttore si può comportare come un condensatore a forze piane parallele, di

costante dielettrica ϵ_s , e distanza tra le armature x_d .

Un ~~semiconduttore~~ svincolato è equivalente ad un materiale dielettrico

Esercizio pratico

Data una giunzione p-n in silicio con i seguenti dati:
 $N_A = 10^{16}$

$$N_D = 5 \cdot 10^{16}$$

1) Disegnare il diagramma a bande sottopagato all'equilibrio

2) Calcolare il campo elettrico massimo all'equilibrio

3) Calcolare il valore della tensione esterna V_a tale per cui il campo massimo raddoppia

4) Calcolare il valore di capacità allo stato della giunzione in $3.$

5) Si metta a punto un metodo di misura sperimentale da tramite misura di capacità permetta una valutazione del potenziale di contatto E_i

1) Sul grafico qualitativamente si disegna subito: ricordando le proprietà dei semiconduttori e dei metalli, e il fatto che il livello di Fermi è costante, si può eseguire. Per poterlo quotare, invece, ci mettiamo alcuni dati: le posizioni x_{po} e x_{no} , E_i , E_m , E_p . Si ricava immediatamente che:

$$E_i = \frac{kT}{q} \ln \frac{N_A N_D}{n_i^2}, \quad \frac{kT}{q} = V_f = 0,0226$$

Ora, l'ampiezza delle bande di svincolamento sarà:

$$x_{do} = x_{no} + x_{po} = \sqrt{\frac{2\epsilon_s}{N_D}} E_i$$

$$\epsilon_s = \epsilon_0 \cdot \epsilon_{r,s} = 11,7 \cdot 8,854 \cdot 10^{-14}$$

$$N_D = \frac{L}{N_D} + \frac{L}{N_D} = 8,33 \cdot 10^{15}$$

Dunque, svolgendo i calcoli,

$$x_{do} = 3,4 \cdot 10^{-7} \text{ m}$$

Potremmo ora fare due ragionamenti: uno, sarebbe quello di prendere l'espressione operativa per il calcolo delle ampiezze x_{po} e x_{no} ; è un metodo altrettanto intelligente, è notare che le distribuzioni di carica, data l'ipotesi di completo svincolamento, sono rettangolari, e dunque che

$$\frac{N_A}{N_D} = \frac{x_{no}}{x_{po}}$$

In uno di questi due modi, si ricava che

$$x_{no} = 58 \text{ nm}$$

$$x_{po} = 292 \text{ nm}$$

$$E_m = \frac{q N_D}{2 \epsilon_s} x_{no}^2 = 0,12 \text{ V}$$

$$E_p = \frac{q N_A}{2 \epsilon_s} x_{po}^2 = 0,65 \text{ V}$$

Ottiamo così quattro tutte le grandezze del diagramma a bande. Possiamo al punto incrinato.

$$2) \text{Max}(|E(x)|) = ?$$

La risposta è molto più semplice del possibile: la tensio a spingerebbe a lunghi conti, ma esiste questo fatto: il massimo del campo è nell'origine degli assi, e ha un valore che noi già conosciamo:

$$\text{Max}(|E(x)|) = E(0) = -\frac{qN_0}{\epsilon_s} x_0 = -\frac{qN_0}{\epsilon_s} x_{\text{no}} = 44 \text{ kV/cm}$$

3) Anche questo punto, ci spingerrebbe a lunghi ragionamenti; pensiamo ad un problema geometrico: dato un triangolo, la sua area sarà, data la base B e l'altezza A ,

$$\text{Area} = \frac{A \cdot B}{2}$$

Beh, ma seppiamo che il nostro campo è un triangolo e di, dalla teoria, l'"altezza", ovia il drago, non varia, mentre la base, x_0 , può variare.

Se vogliamo reduplicare il campo, dunque, dovranno reduplicare

alcuni dati:

$$(974 - V_a) = \frac{2 \cdot x_0 \cdot E(0) \cdot x}{x}$$

$$\Rightarrow V_a = -2,2 \text{ eV}$$

4) Anche qui la tensio fornisce molti suggerimenti e fatti, più o meno difficili. Il sistema più semplice per calcolare la C_{DEP} , ovia "capacità di sostanzialità", è la ricorrenza al momento a forze parallele:

$$C_{\text{DEP}} = \frac{\epsilon_s}{x_0} = 15 \text{ nF/cm}^2$$

5) Vogliamo trovare un modo per misurare, meglio con una buona approssimazione, la tensione di contatto Ξ_i . Della teoria, seppiamo che è impossibile realizzare un voltmetro capace di ciò, dunque dovremo ricorrere ad una misura di tipo V diretta. La terza ci consente di studiare grandezze capacitive.

Dalla teoria, seppiamo che

$$C_{\text{DEP}} = \sqrt{\frac{q \epsilon_s N_{\text{eq}}}{2(\Xi_i - V_a)}}$$

Vorremmo una funzione facile da studiare, e da non presenti il seguente problema: C_{DEP} presenta, in prossimità di $V_a = \Xi_i$, un arroto; quella zona di tensione non è studiabile per diversi motivi.

Consideriamo la funzione seguente:

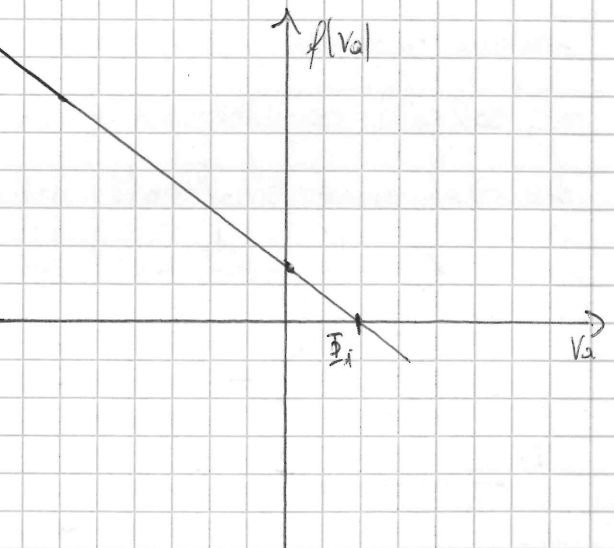
$$\frac{L}{C_{\text{DEP}}^2} = \frac{2(\Xi_i - V_a)}{q \epsilon_s N_{\text{eq}}}$$

Questa, al variare di V_a , sarà una retta: volendola in alcuni punti "fatti", come "0" e "-2,2", vediamo di:

L'intervento con l'asse delle ascisse è la Ξ_i :

Questo metodo di misura ci fornisce implicitamente due misure:

Ξ_i , ma anche N_{eq} : la pendente della retta $f(V_a)$, è legata a N_{eq} , così da essere calcolabile con un'ultima approssimazione.

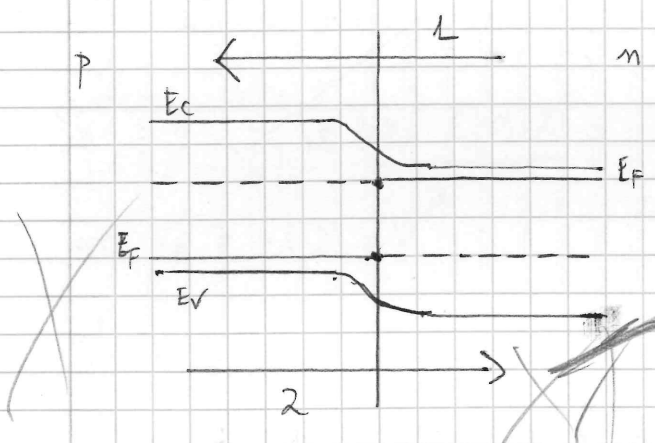


Effetti di una tensione sulla giunzione p-n

Vorremmo ora comprendere, al di là degli effetti elettrostatici, cosa succede, le conseguenze di una tensione esterna V_A che polarizza una giunzione p-n. Soprattutto, vorremmo stabilire cosa capta ai flussi di portatori, in seguito ad una modulazione della barriera. Introduciamo una notazione per identificare univocamente i quattro flussi di entroscalo in gioco nella giunzione:

- 1) Elettroni da lato n a lato p
- 2) Elettroni da lato p a lato n
- 3) Lacune da lato p a lato n
- 4) Lacune da lato n a lato p.

Se applichiamo alla giunzione una tensione $V_A > 0$, e sempre niente in un caso di polarizzazione diretta, il lato p "scende", e quello n "salisce", così che il flusso 1 e quello 3 cresceranno, ma gli altri due rimarranno inalterati.



Qualitativamente, la diminuzione della barriera provocherà un aumento dei flussi, 1 e 3.

Il nostro obiettivo era di quantificare la transizione dei portatori, ponendoci alcune domande specifiche: vorremmo poter quantificare la concentrazione dei portatori minoritari iniettati, e calcolare il livello di iniezione; V_A determina infatti l'iniezione di elettroni

nel lato p, e di lacune nel lato n, e così un'iniezione elettrica.

Studiamo le concentrazioni dei minoritari, partiamo da una condizione di equilibrio: poniamo due, mediante la legge dell'azione di massima (o, se si preferisce, mediante le equazioni di Shockley)

che

$$n_p(-x_p) \Big|_{EQ} = \frac{n_i^2}{p_p(-x_p)[EVA]} = n_{p0}; \quad p_n(+x_n) \Big|_{EQ} = \frac{n_i^2}{n_n(x_n)} = \frac{n_i^2}{N_D} = p_{n0}$$

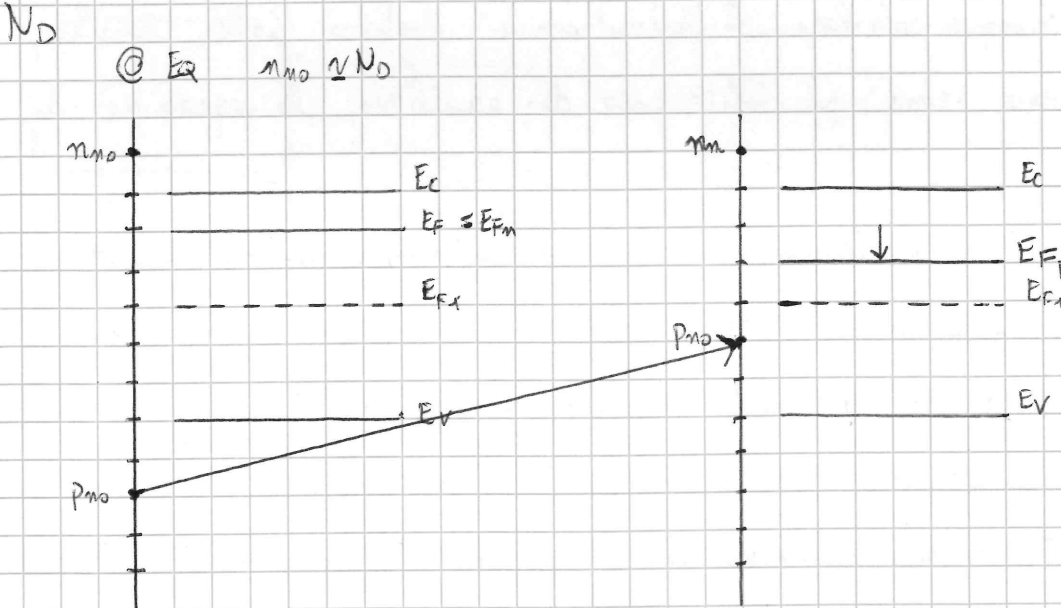
Poniamo inoltre di polarizzare la giunzione, $n_p(-x_p)$ e $p_n(+x_n)$ crescano molto. Fanno dunque in gioco di studiare bene l'equilibrio, ma non una condizione fuori equilibrio. Poniamo qualitativamente dire che, con polarizzazione diretta ($V_A > 0$), l'ampiezza della regione di inversione si riduce, e sulla giunzione ci sarà tensione V_J . Lontano dalla giunzione sappiamo che non abbiamo effetto della barriera, e che quindi molto "a sinistra" avremo un semiconduttore tipo p, e molto "a destra" un semiconduttore tipo n. Lontano dalla giunzione, avremo le stesse concentrazioni dell'equilibrio.

Vedendo dunque calcolare le concentrazioni lontano dalla barriera, possiamo usare, come al solito caso di equilibrio, le equazioni di Shockley.

Dalle parti della barriera, in un mo intorno, nascono i nostri problemi: il livello di Fermi presenta una discontinuità, come abbiamo visto nel precedente grafico qualitativo. La discontinuità sarà esprimibile come un "salto" di qV_A tra i due E_F . In regioni remote dunque sappiamo che fare, ma in prossimità della giunzione siamo fuori equilibrio, e così non sappiamo come procedere.

L'idea su cui ci fondiamo è questa: con le equazioni di Shockley si possono studiare, in funzione di E_F , le concentrazioni. Come possiamo descrivere un semiconduttore in funzione del livello di Fermi, fuori dall'equilibrio? Consideriamo un modello di basso livello di iniezione: in un semiconduttore drogato N_D con N_A , ed un'iniezione di portatori, capita che i maggioranti restano inalterati, ed i minoritari subiscono una sensibile variazione. Ma cosa capita al livello di Fermi? Poiché aumentano i minoritari, subirà una variazione. L'idea che ci permette di studiare i casi di non equilibrio, è l'iniezione di un "quasi livello di Fermi"; in zone di non equilibrio, slappiamo il livello di Fermi in due livelli: in prossimità dei maggioranti (nel nostro caso gli n_m), $E_{Fm} = E_F$, e cioè coincide con il livello all'equilibrio. Nei minoritari, si considererà (E_{Fp} , nel nostro caso), un nuovo livello, non all'equilibrio.

Vediamo per capire ciò meglio il diagramma a bande qualitativo del semiconduttore drogato N_D :



Nel nostro "slappamento", consideriamo dunque per i maggioranti E_F dell'equilibrio, prima dell'iniezione; per i minoritari, E_{Fp} (nel nostro esempio) del dopo-iniezione. Distinguendo questi due livelli di Fermi (quello dei minoritari più spostato verso E_F rispetto a quello dei maggioranti), possiamo calcolare sia n_m che p_n , mediante le equazioni di Shockley. Facendo le stesse osservazioni per un semiconduttore drogato p per N_A , possiamo introdurre le equazioni di Shockley:

$$N_D: \begin{cases} n_m = n_i e^{\frac{E_F - E_{Fm}}{kT}} \\ p_m = n_i e^{-\frac{E_F - E_{Fm}}{kT}} \end{cases}$$

$$N_A: \begin{cases} p_p = n_i e^{\frac{E_{Fp} - E_F}{kT}} \\ p_{pp} = n_i e^{-\frac{E_{Fp} - E_F}{kT}} \end{cases}$$

In questi casi di equilibrio, la legge dell'azione di massa vale:

$$\begin{cases} N_D: n_m \cdot p_m = n_i^2 \\ N_A: n_p \cdot p_{pp} = n_i^2 \end{cases}$$

Nei casi fuori equilibrio, le equazioni di Shockley saranno:

$$N_D: \begin{cases} n_m = n_i e^{\frac{E_{Fm} - E_F}{kT}} \\ p_m = n_i e^{-\frac{E_F - E_{Fm}}{kT}} \\ (E_{Fm} = E_F) \end{cases}$$

$$N_A: \begin{cases} p_p = n_i e^{\frac{E_{Fp} - E_F}{kT}} \\ p_{pp} = n_i e^{-\frac{E_F - E_{Fp}}{kT}} \\ (E_{Fp} = E_F) \end{cases}$$

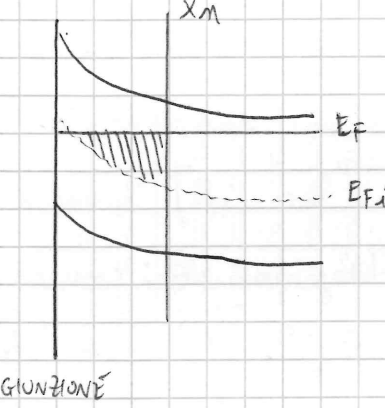
In questi casi fuori equilibrio, la legge dell'azione di massa subisce una variazione:

$$\begin{cases} N_D: n_m p_m = n_i^2 e^{\frac{E_{Fm} - E_F}{kT}} \\ N_A: p_p p_{pp} = n_i^2 e^{\frac{E_{Fp} - E_F}{kT}} \end{cases}$$

Mediente questi strumenti terici, i quali livelli di Fermi, poniamo studiare un semiconduttore fuori dall'equilibrio.

Verriamo allo studio della gerazione, cercando di applicare questo strumento appena introdotto, e di usare le equazioni di Shockley sulle regioni di svuotamento.

Supponiamo che lo svuotamento di queste indue un basso livello di immissione, e quindi che il vecchio livello di Fermi descriva la concentrazione dei maggioritari. Usando le equazioni di Shockley, si vede che la distanza $E_{Fm} - E_{Fi}$ al variare di x , nel lato n , è costante fino a $x = x_m$; di qui, diminuisce bruscamente, al variare di x . Analizziamo questa regione svuotata:



Man mano che attraversiamo la zona di svuotamento, l'area della zona tra E_F ed E_{Fi} diminuisce.

liò ci aiuta a calcolare $n_n(x)$:

$$n_n(x) = n_{n0} e^{\frac{E_F - E_{Fi}(x)}{kT}}$$

A $x = x_m$, $n_n(x) = n_{n0}$; per $x > x_m$, vi è una diminuzione esponenziale degli elettroni: questo perché, per $x > x_m$, la neutralità è garantita dagli elettroni derivanti dagli ioni positivi (dopanti):

$$x > x_m, \quad g(p_n - n_n + N_D^+) ; \quad p_n \approx 0, \Rightarrow -n_n + N_D^+ \approx 0.$$

Via via che ci inoltriamo nella regione svuotata, $n_n(x)$ diminuisce velocemente, perché abbiano dipendenza esponenziale da $E_F - E_{Fi}(x)$, quindi, dalla neutralità in cui $n_n \approx N_D$, $g=0$, si arriva a $n_n \ll n_{n0}$; $n_n \ll N_D$; $g \approx N_D$.

Questa è una verifica a posteriori della validità dell'ipotesi di completo svuotamento. Si noti che nella regione di svuotamento esistono molti portatori, ma in numero trascurabile rispetto a N_D . Lo stesso ragionamento vale per il lato p .

La transizione delle concentrazioni avverrà con una certa gradualità; partendo dall'ipotesi di basso livello di immissione, e dal fatto che i maggiorenti nel lato n sono descritti da $E_F = E_{Fn}$, e nel lato p da $E_F = E_{Fp}$, poniamo architettono la nostra congettura.

- In equilibrio, $n_p(-x_p) = n_{n0} e^{-\frac{E_{Fi}(-x_p) - E_F}{kT}}$ (1)

- Fuori equilibrio, $n_p(-x_p) = n_{n0} e^{-\frac{E_{Fi}(-x_p) - E_{Fn}}{kT}}$ (2)

Ma, nel lato p , all'equilibrio, $E_F = E_{Fp}$. Ricordiamo da L' n° 1, dopo aver introdotto $E_F = E_{Fp}$:

$$n_{p0} = n_{n0} e^{-\frac{E_{Fi}(-x_p) - E_{Fp}}{kT}} \Rightarrow n_{n0} = n_{p0} e^{-\frac{E_{Fi}(-x_p) - E_{Fn}}{kT}}$$

Substituendo n_{n0} in (2),

$$n_p(-x_p) = n_{p0} e^{-\frac{E_{Fi}(-x_p) - E_{Fn}}{kT}} \cdot e^{-\frac{E_{Fi}(-x_p) - E_{Fn}}{kT}} = n_{p0} e^{-\frac{E_{Fp} - E_{Fn}}{kT}}$$

Dualmente, nel lato n , per $x = +x_m$, si ottiene, mediante gli stessi passaggi, che

$$p_n(x_m) = p_{n0} e^{-\frac{E_{Fn} - E_{Fp}}{kT}}$$

$$Ma \frac{E_{Fn} - E_{Fp}}{kT} = \frac{V_A}{V_T}, \quad V_T \text{ equivalente in tensione della temperatura.}$$

Abbiamo così ricavato due equazioni fondamentali per lo studio della giunzione p-n:

$$\boxed{m_p (-x_p) = m_{p0} e^{-\frac{V_a}{kT}} = \frac{n_i^2}{N_A} e^{-\frac{V_a}{kT}}$$

$$m_n (+x_n) = m_{n0} e^{-\frac{V_a}{kT}} = \frac{n_i^2}{N_D} e^{-\frac{V_a}{kT}}$$

LEGGI DELLA GIUNZIONE

Cerchiamo di capire l'importanza ed il significato; l'esigenza iniziale era quella di capire quale concentrazione di carica si originasse, ovia quanti elettroni andassero dal lato n al lato p, o quanti buche dal lato p al lato n, in seguito ad una modulazione della barriera, in prossimità di $x=x_p$ ed $x=x_n$.

Hanno arrivato a capire, mediante la formulazione delle leggi della giunzione, che la popolazione si "sposta esponenzialmente con la barriera", ovvia si ha uno svuotamento esponenziale delle regioni di movimento.

Abbiamo introdotto nella giunzione i "gradi livelli di Fermi":

Possiamo immaginare che questi, all'aumentare della distanza dalla giunzione, tendano asintoticamente ad univisi, nel livello di Fermi.

E all'equilibrio.

La legge della giunzione "infesterà" con gli esponenziali quantitativi le equazioni di funzionamento dei dispositivi elettronici. Ciò deriva dalla derivazione delle equazioni di Shockley, che a loro volta deriveranno dall'approssimazione della distribuzione di Fermi-Dreie a quella di Boltzmann.